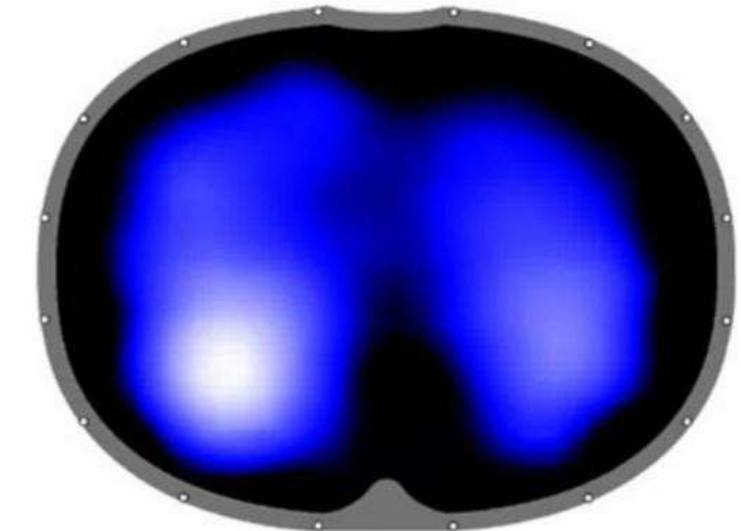


Atelier SRLF 2022

# Tomographie par Impédance Electrique

## Principe, Mise en place et Applications Cliniques pour le MKREA



Arnaud ROUX MKDE  
*CHU Clermont-ferrand*  
*Hôpital Gabriel Montpied*  
*Membre du CS SKR*

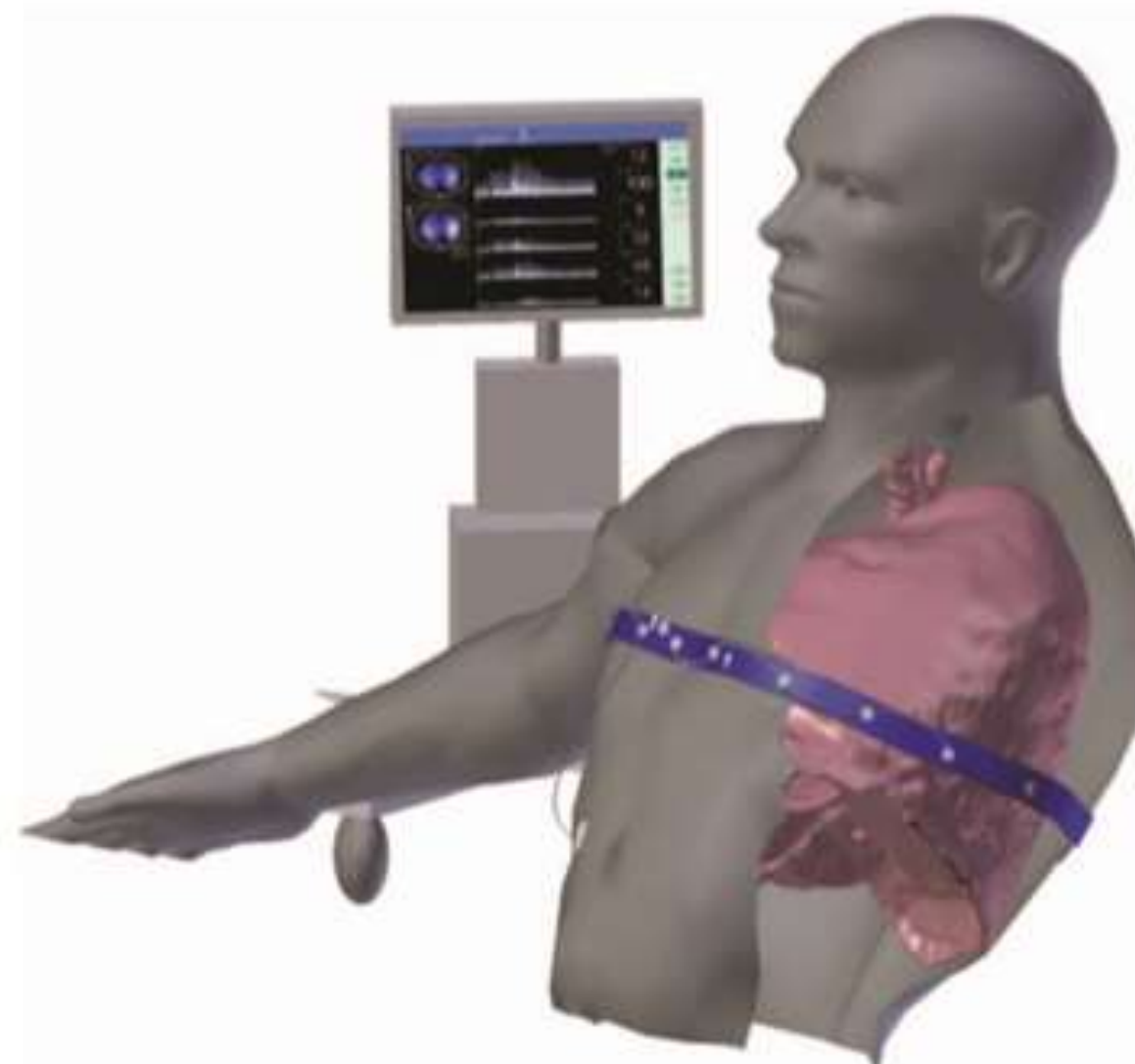
Alexandre GARCIA MKDE  
*CHU de Bordeaux - Magellan*  
*Réanimation Chirurgicale*  
*Thoracique & Digestive*

**Pas de Conflits d'Intérêts**

# TIE

## Tomographie par impédance électrique

Monitorage de la fonction pulmonaire  
impédancemétrie

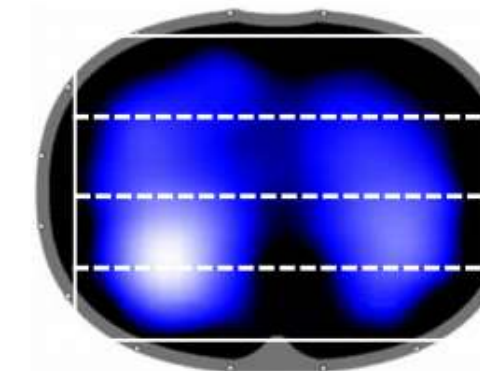


Rowley et al. 2019

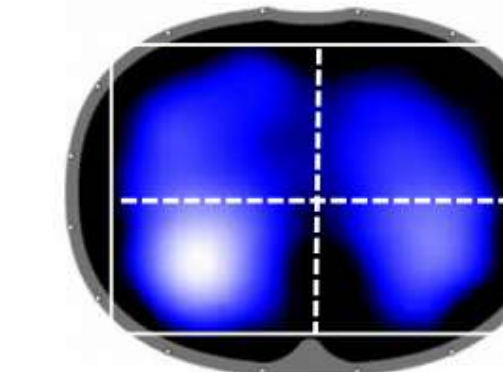
- ✓ Non invasive
  - ✓ Au lit du patient
- ↗
- ✓ Dynamique
  - ✓ Validé

Distribution de l'impédance  
=

Distribution de l'air



ventral	10%
mid-ventral	38%
mid-dorsal	40%
dorsal	12%



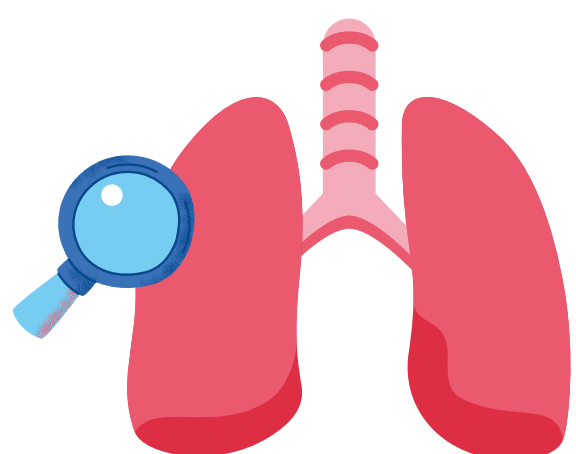
right upper	25%
right lower	30%
left upper	22%
left lower	23%

- Shono et Kotani  
2019 +

TIE & MKDE

# Tomographie par impédance électrique

**Evaluation des pratiques**  
Recherche  
Pratique Clinique



**Individualisation du soin**



# OBJECTIFS PEDAGOGIQUES



- ➊ S'approprier les bases de fonctionnement TIE
- ➋ Connaître les étapes de mise en place TIE
- ➌ Interpréter les mesures TIE et connaître leurs limites

➍ Place du TIE dans la pratique clinique du MKREA ?

➎ Retour d'expérience

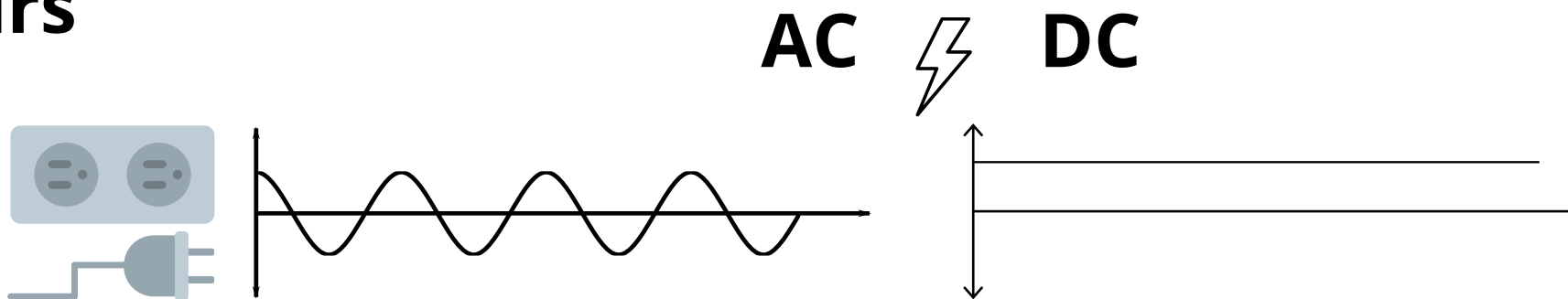


# Principe de Fonctionnement

# L'Impédance Z

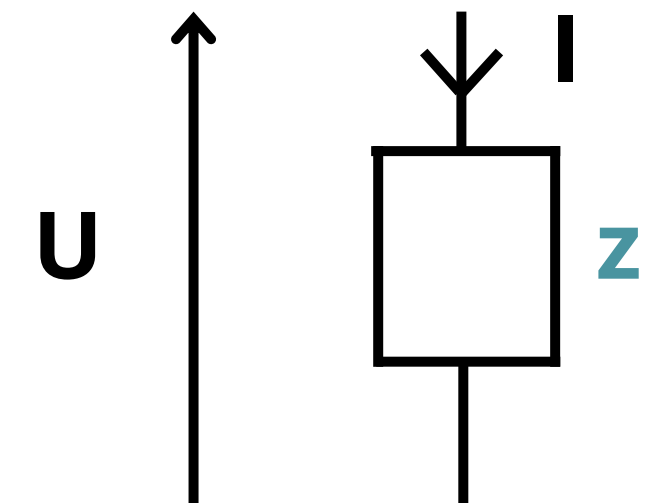
Circuit électrique basique - 3 grandeurs

⚡ **Courant - I (Ampère)**



⚡ **Tension - U (Volt)**

⚡ **Impédance - Z (Ohm)**

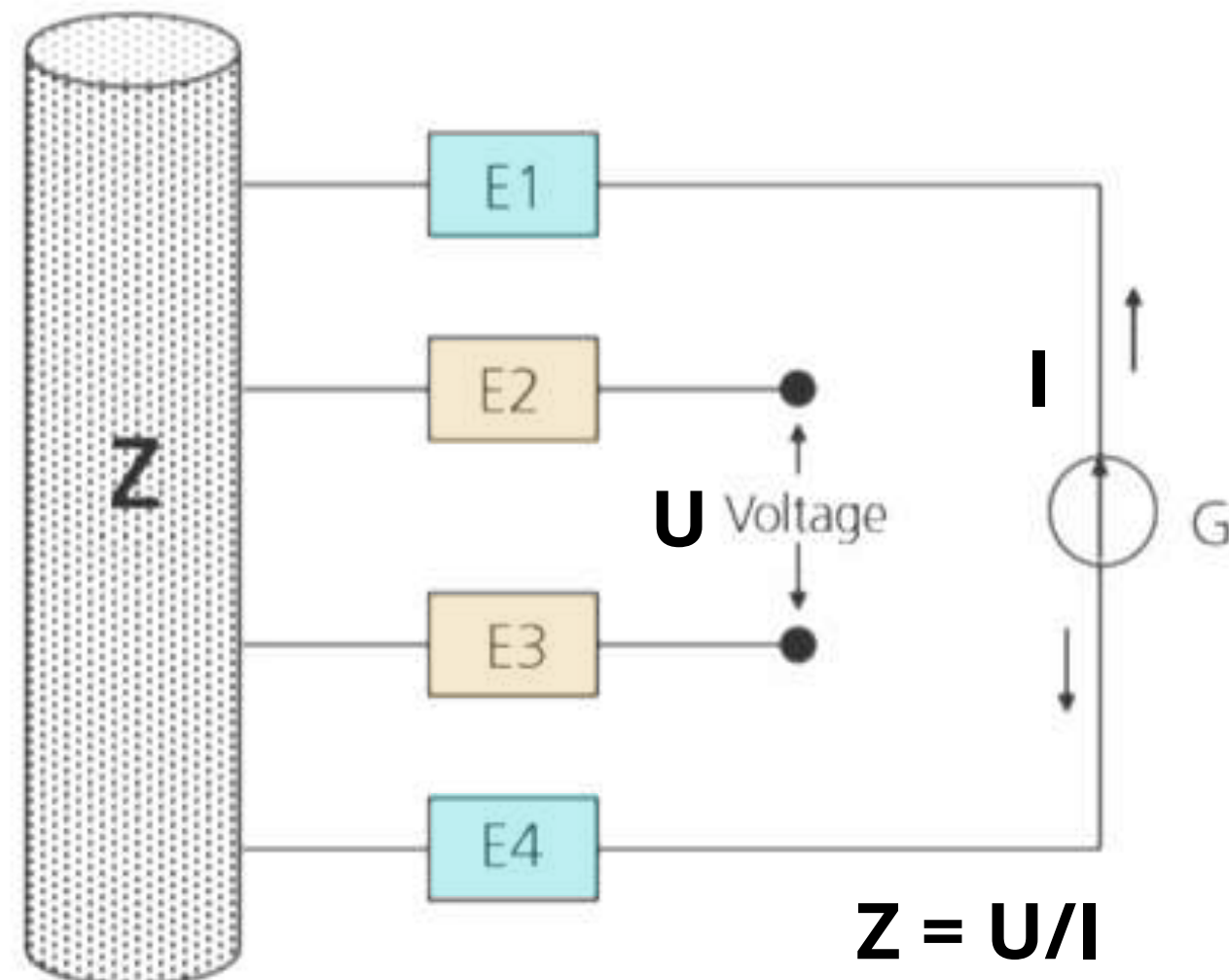


**L'impédance** est la propriété d'un système à résister au passage  
d'un **courant électrique alternatif**.

**Loi d'Ohm - [U (volt) = Z (Ohm) \* I (Ampère)]**

# Bio-impédance

**La Bioimpédance** (Ohm.m) : propriété d'un **tissu biologique à résister** au passage d'un **courant électrique alternatif**.



*Tissu biologique*

⚡ **Quantité de fluides**

⚡ **Proportions d'électrolytes conducteurs (ions)**

*Conditions de mesure*

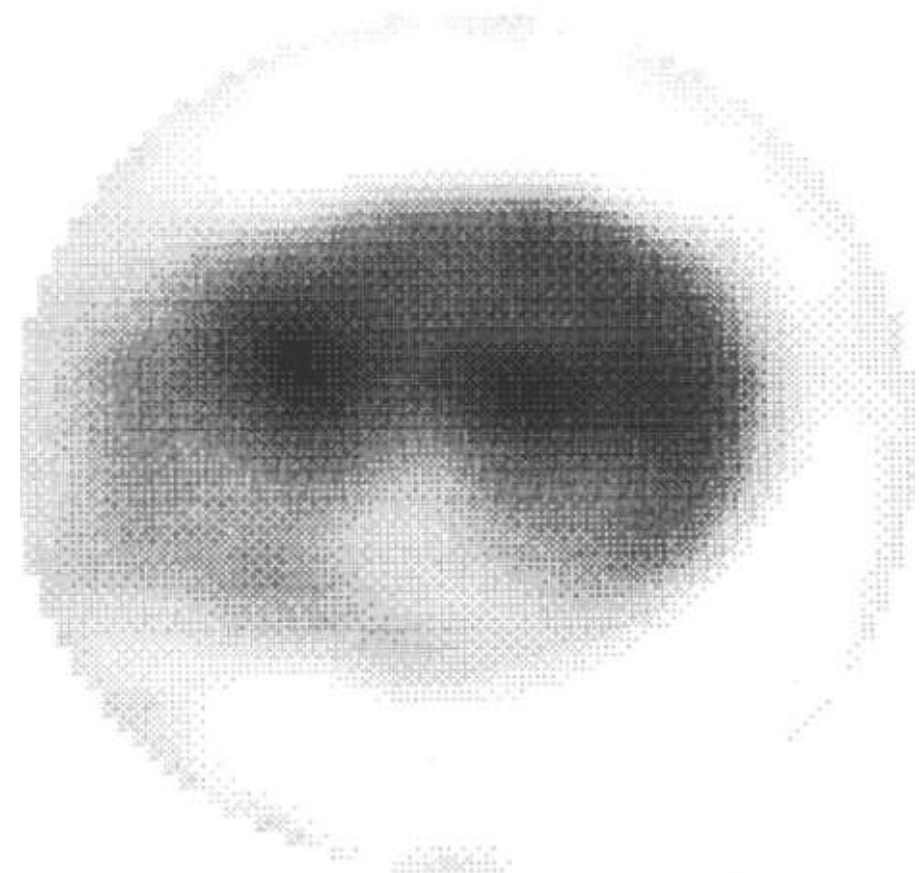
⚡ **Fréquence & Direction du courant injecté**

TIE

# TIE : historique



**Tomo-** "coupure" / -graphe "image"



**Distribution spatiale de l'impédance de tissus biologiques suivant une coupe transversale**

TIE décrit pour la première fois en **1984**

**D C Barber & H B Brown**



Coupe Transversale d'un avant-bras

**Figure 3.** An applied potential tomography image of a forearm constructed from a 16-electrode circular array. The arm was placed into an 80 mm diameter saline-filled tank whose outline is visible on the image.

D C Barber & H B Brown

# TIE

## TIE du Thorax

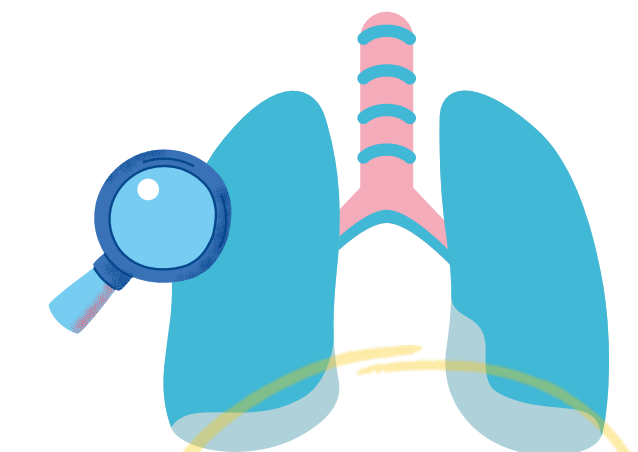


Table 1. Electrical resistivity of thoracic tissues.

Tissue	Resistivity ( $\Omega \cdot \text{cm}$ )
Blood	150
Lungs, inspiration	2400
Lungs, expiration	700
Heart muscle, longitudinal	125
Heart muscle, transversal	1800
Skeletal muscle, longitudinal	160–575
Skeletal muscle, transversal	420–5200
Fat	2000–2700
Bone	16,600

Putensen et al. 2019

Phénomènes Physiologiques  
Variations d'Impédance



Ventilation

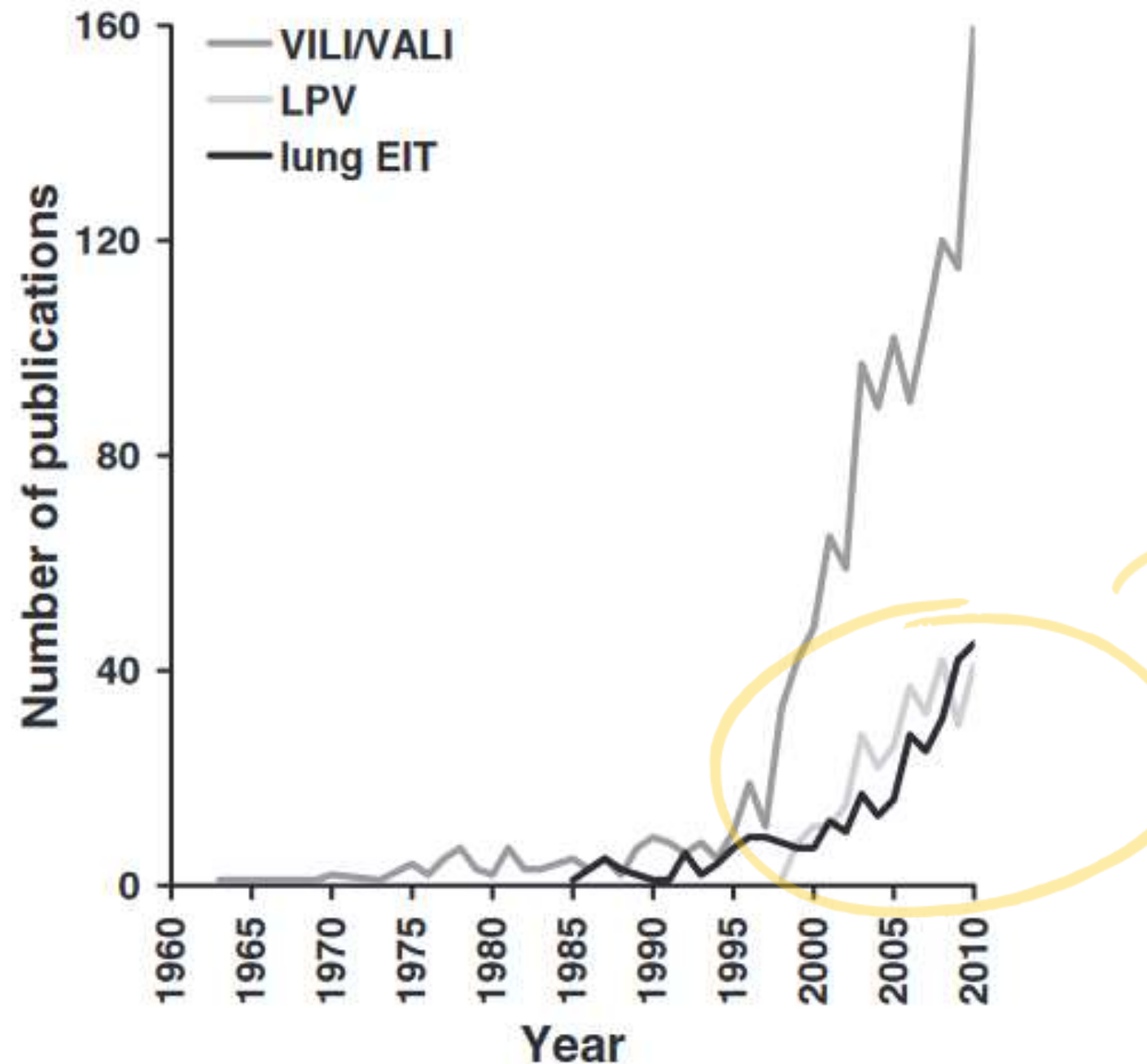


Perfusion



TIE

# TIE du Thorax



1995 Etude croissante des **VILI**

2000 Emergence de la **Ventilation Protectice**

Besoin de **caractériser la réponse régionale  
du poumon à la ventilation mécanique**

**Developpement des outils de monitorage  
Guider les stratégies de soin**

**Figure 1.** Number of publications on VILI/VALI, LPV and lung EIT published in peer-reviewed journals. (Source: ISI Web of Knowledge, Thomson Reuters, New York, USA.)

# TIE Dispositifs



Images issues de [https://www draeger com/fr\\_fr/Products/PulmoVista-500](https://www draeger com/fr_fr/Products/PulmoVista-500)

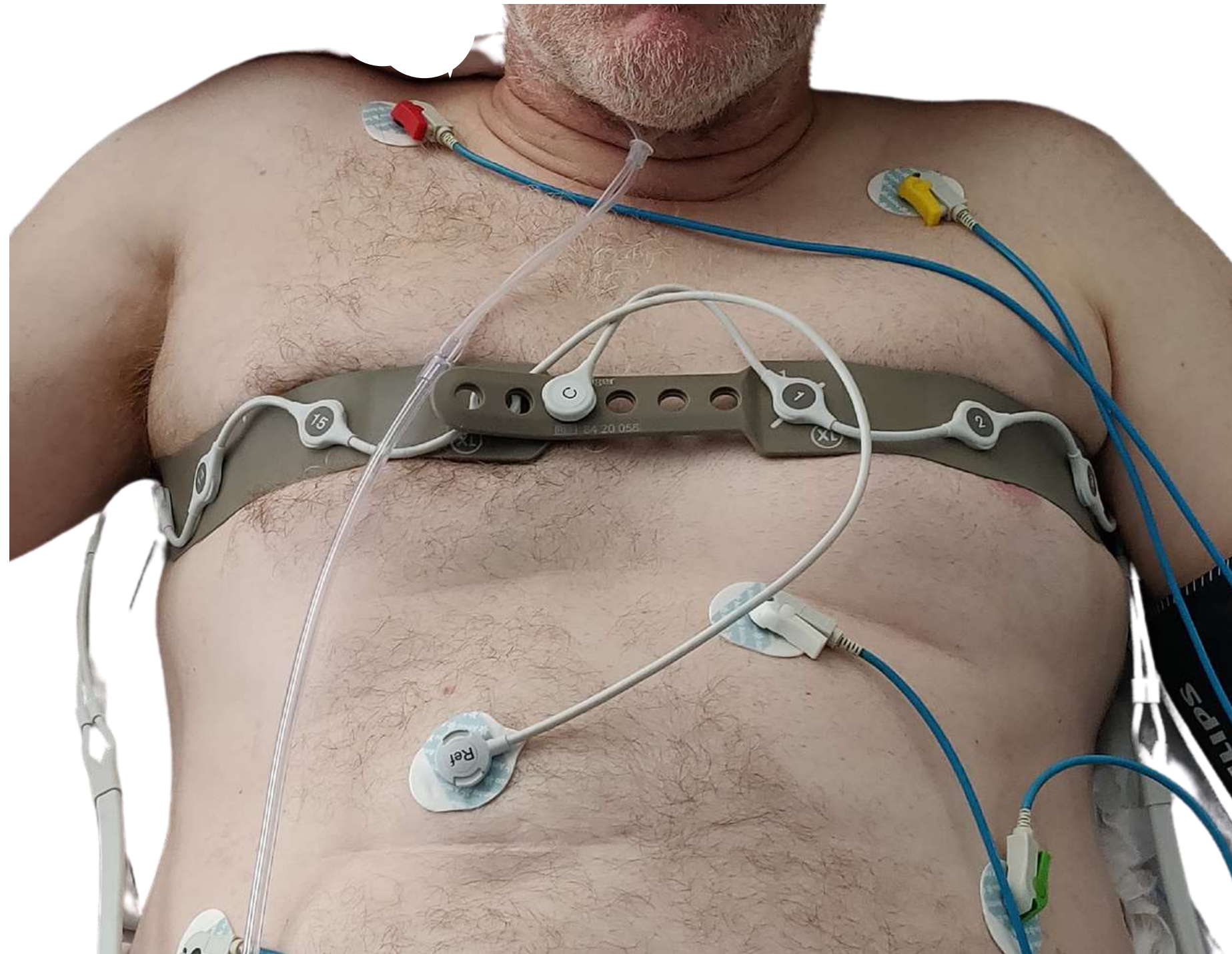
# TIE Dispositifs

**Table 2.** Commercially available electrical impedance tomography (EIT) devices.

Manufacturer	EIT System	→ Electrodes		→ Image Reconstruction Algorithm	→ Measurement and Data Acquisition
		Number	Configuration		
Swisstom AG	BB <sup>2</sup>	32	electrode belt	Graz consensus reconstruction algorithm for EIT (GREIT) algorithm for EIT (GREIT)	pair drive (adjustable skip) serial measurement
Timpel SA	Enlight	32	electrode stripes	Finite Element Method-based Newton-Raphson method	pair drive (3-electrode skip) parallel measurement
CareFusion	Goe-MF II	16	individual electrodes	Sheffield back-projection	pair drive (adjacent) serial measurement
Dräger Medical	PulmoVista 500	16	electrode belt	Finite Element Method-based Newton-Raphson method	pair drive (adjacent) serial measurement
Maltron Inc	Mark 1	16	individual electrodes	Sheffield back-projection	pair drive (adjacent)
	Mark 3.5	8	individual electrodes		serial measurement

# TIE

## Mesure & Acquisition des données



### ***Positionnement de la ceinture***

Karsten J et al. 2016

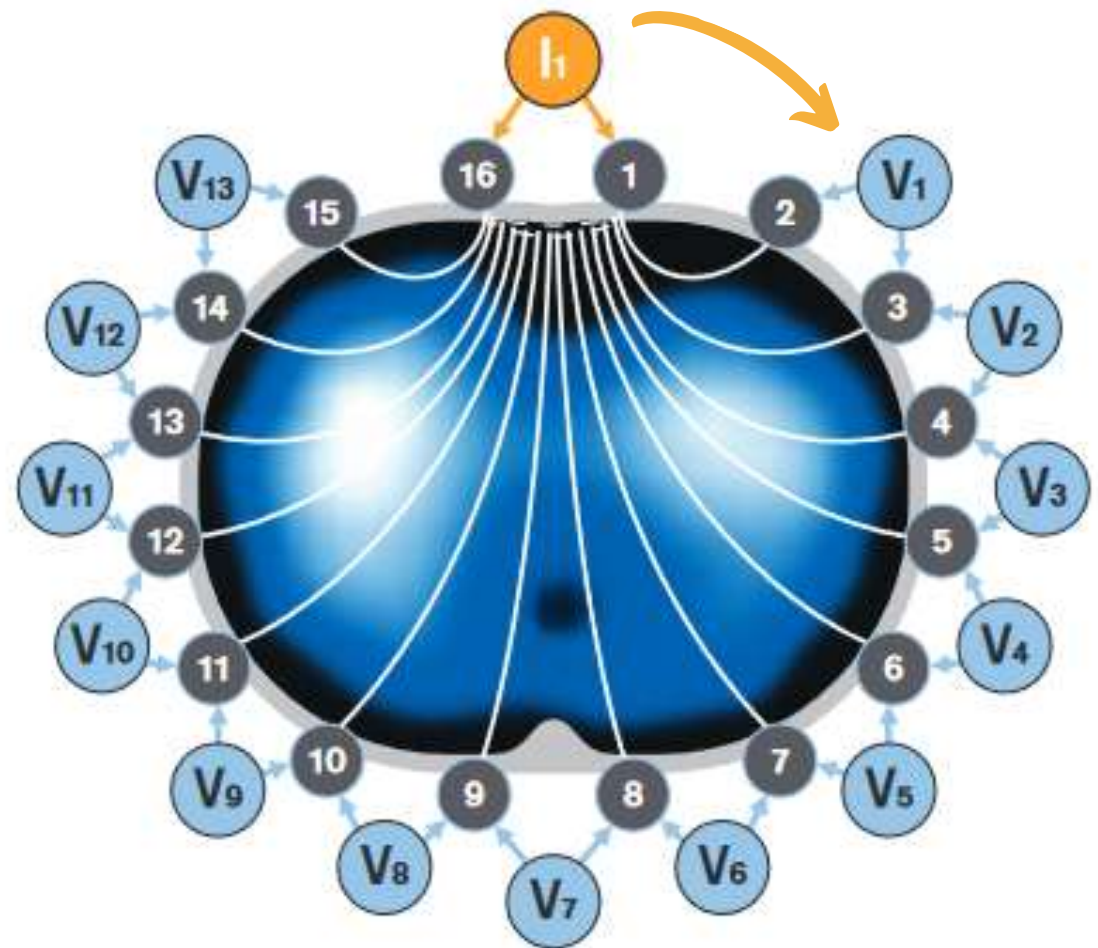
- **4 - 6ème espace intercostal**
- **Ligne parasternale**
- **Contact peau**

### ***Perturbation des mesures***

- Pansements, fils de sutures,
- **Mouvements, paroles**

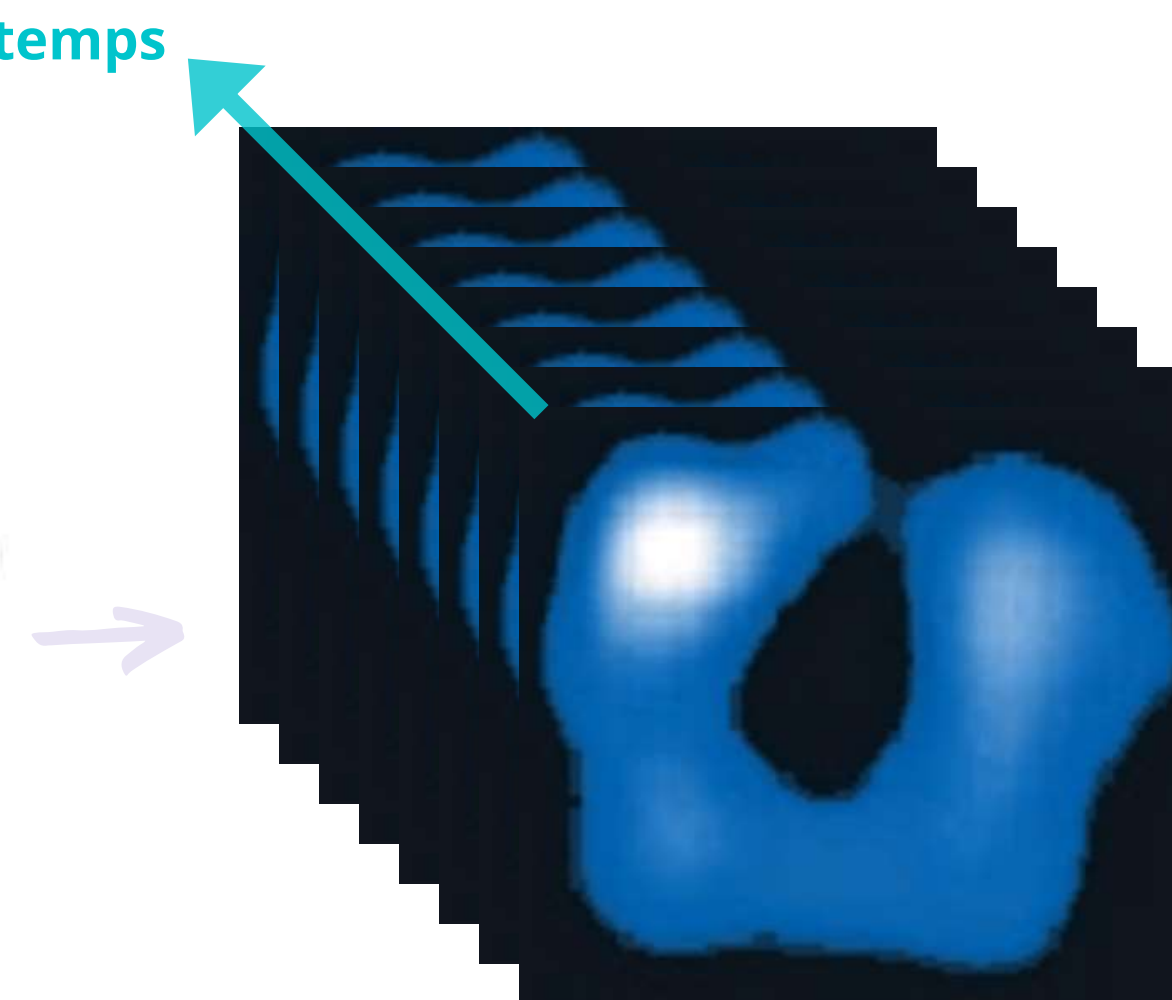
# TIE

## Mesure & Acquisition des données



Teschner, Imhoff, et Leonhardt, s. d.

**Acquisition**  
 $Z=V/I$



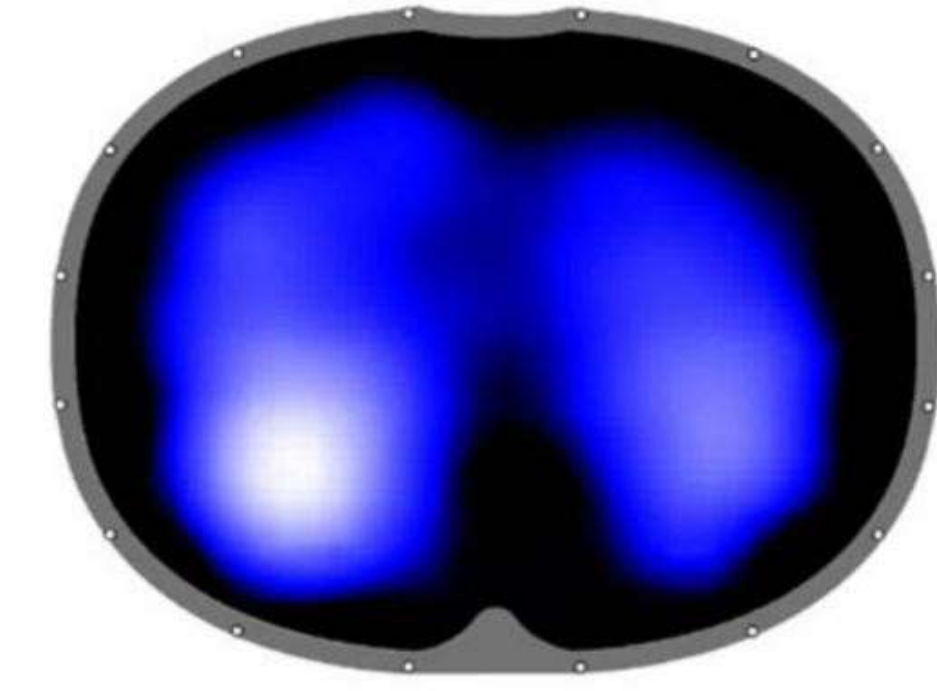
Teschner, Imhoff, et Leonhardt, s. d.

**Génération images 2D**  
32x32 pixels

**Variation d'impédance = Variation de volume**

Van Genderingen et al. 2003

**Imagerie relative**  
Variation Impédance  
fin d'inspiration

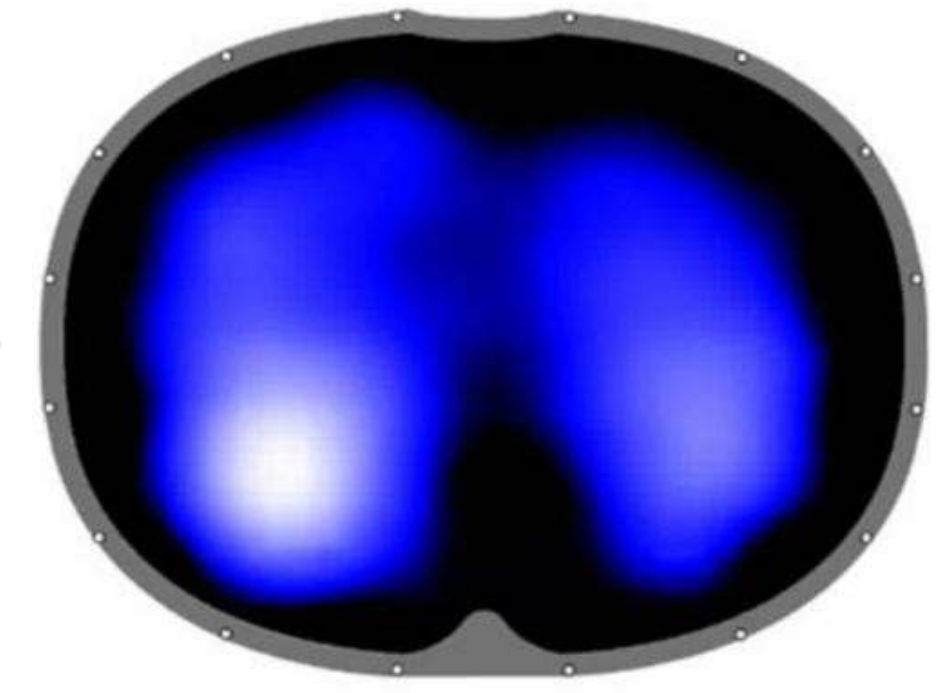
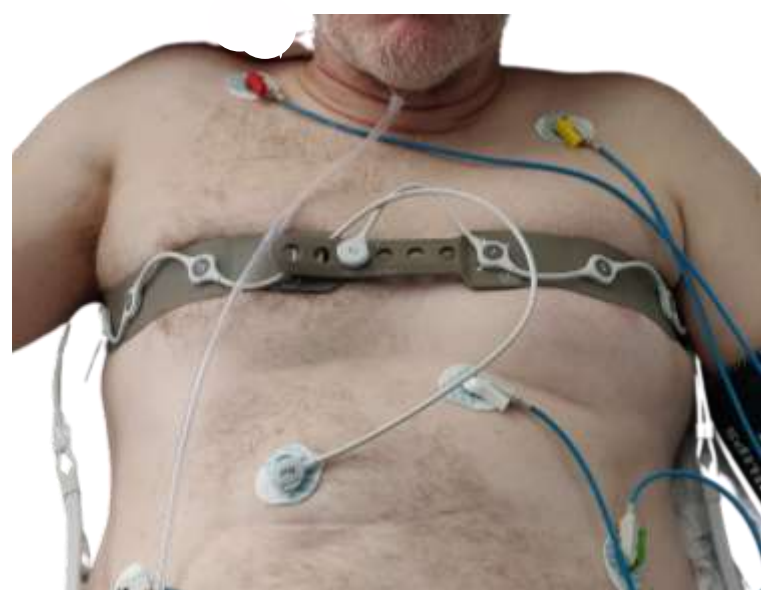


Shono et Kotani  
2019

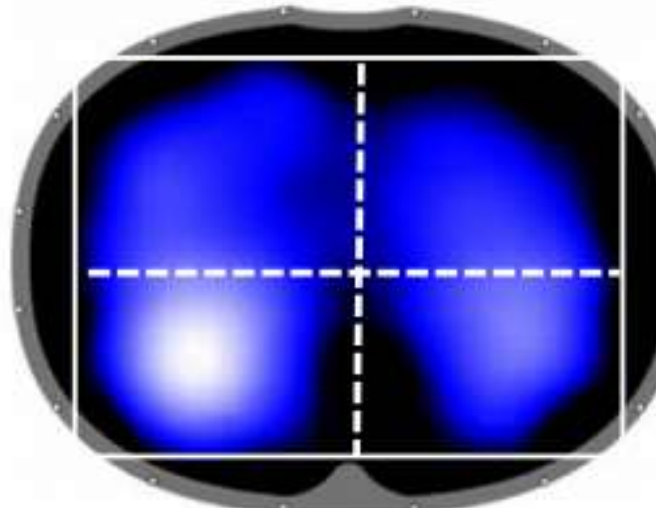
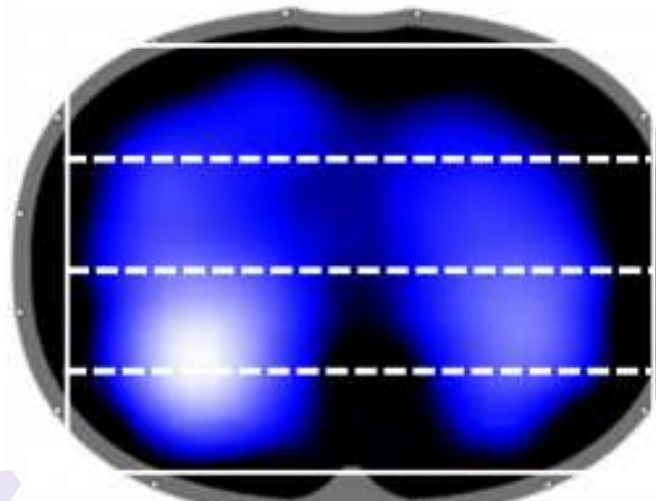
**Frame rate 25/sec**

# TIE

## Analyse Régionale



- Shono et Kotani  
2019



ventral	10%
mid-ventral	38%
mid-dorsal	40%
dorsal	12%

right upper	25%
right lower	30%
left upper	22%
left lower	23%



# Données TIE Monitorées

**TIV**

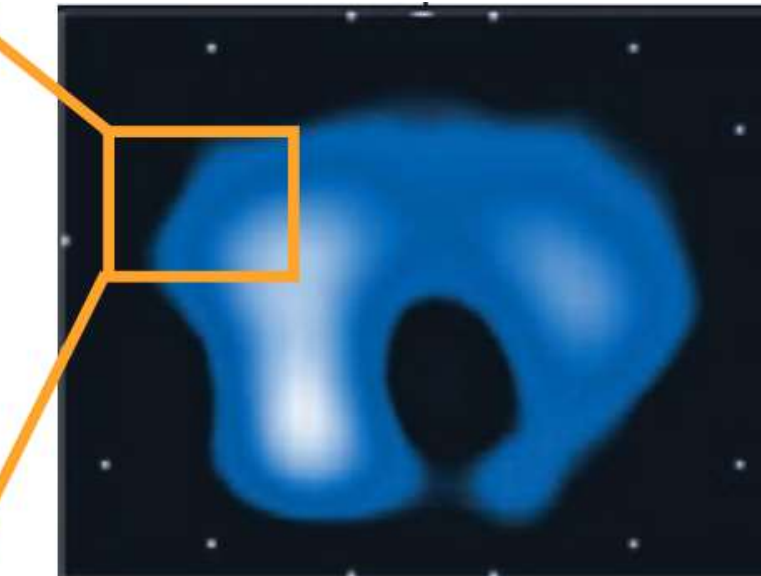
**Tidal Impedance Variation**

→ reflet du **Vt**

Van Genderingen et al. 2003

**VENTILATION**

4,7	5,0	5,1	5,8	6,3
5,4	5,9	6,9	7,7	7,2
6,1	7,4	8,6	9,5	11,3
6,8	8,6	9,5	12,8	15,4
7,3	8,9	10,4	14,5	16,1



Teschner, Imhoff, et Leonhardt, s. d.

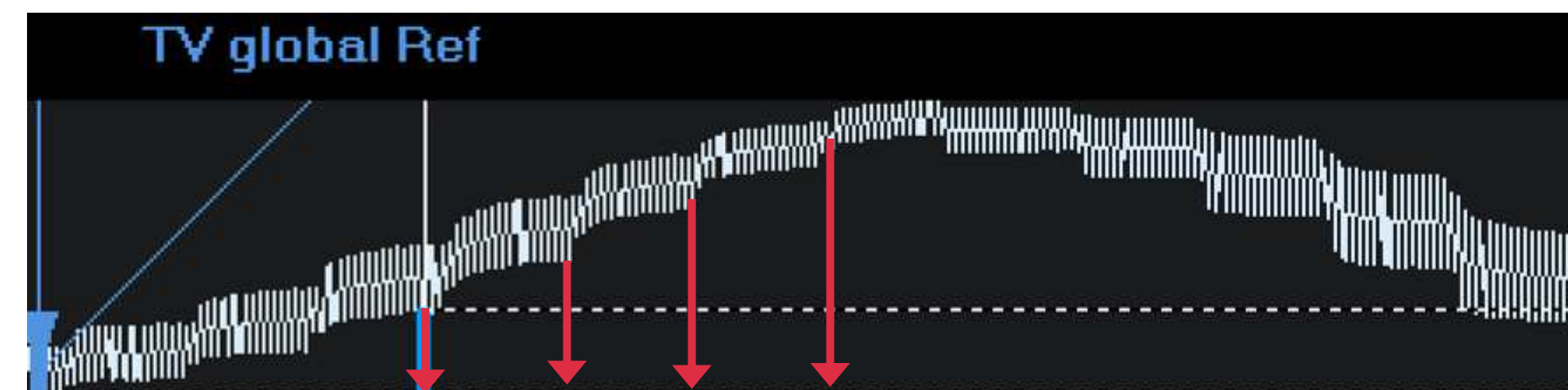
**EELI**

**End Expiratory Lung Impedance**

→ reflet **EELV : CRF**

Hinz et al. 2003

**RECRUTEMENT**



# Données TIE Monitorées

Intubé / Ventilé

## Regional Respiratory System Compliance

→ Compliance régionale : TIV pixel / Pression Motrice globale

→ **Estimation des zones Surdistendues / Collabées (atelectasiées)**

Costa et al. 2009



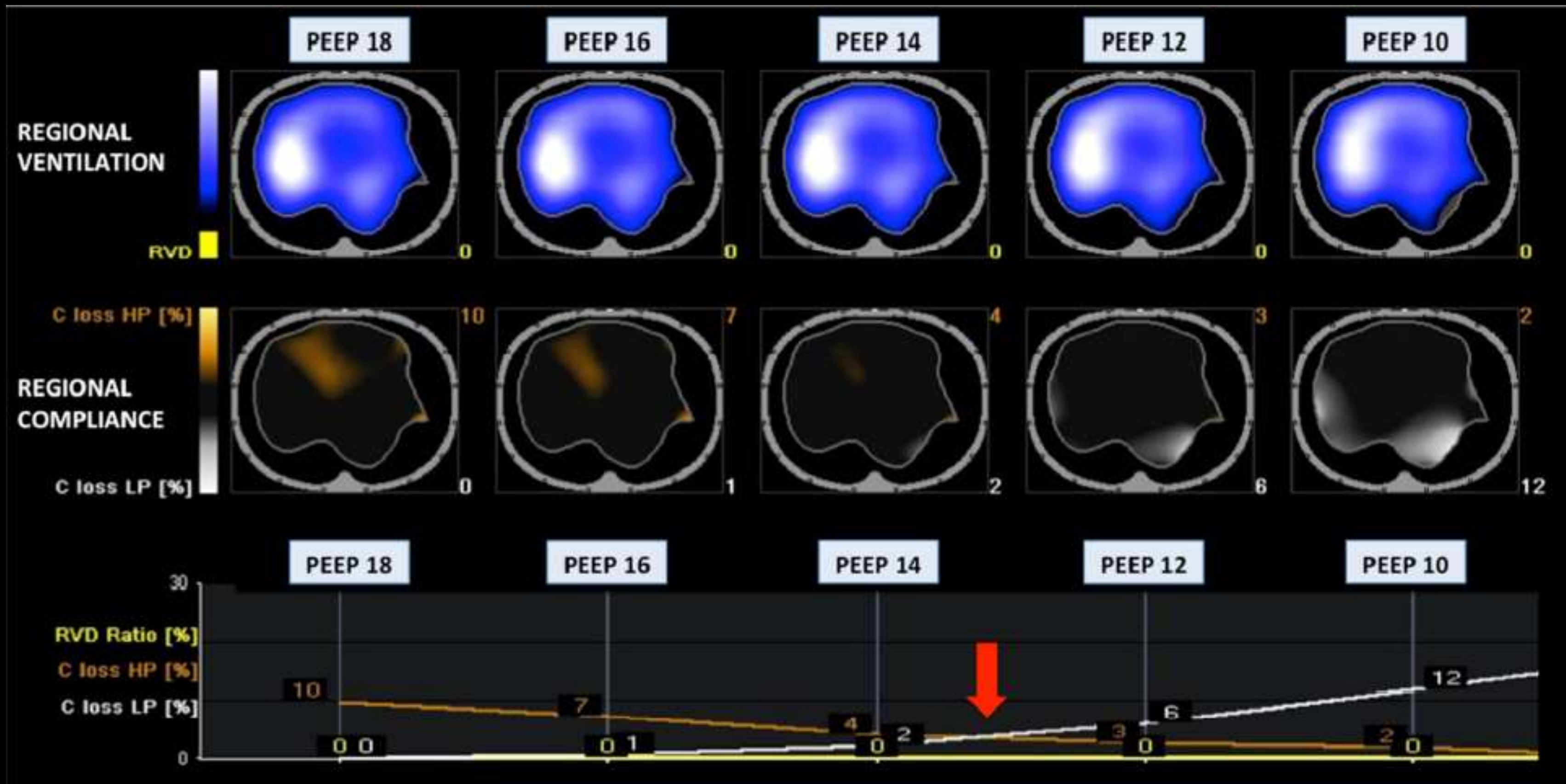
**Surdistension**



**Atelectasie**

**Titrage PEEP**  
SDRA  
ECMO

Sella et al. 2020



Sella et al. 2020

# Données TIE Analysées

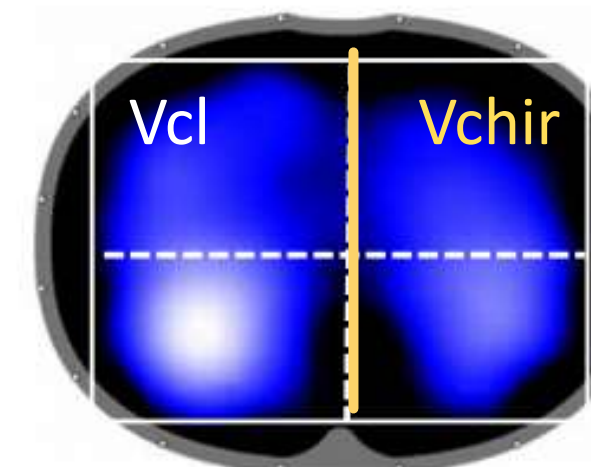
**G.I****Global Inhomogeneity index** Zhao et al. 2009

- Reflet de l'hétérogénéité de la distribution du TIV =  $V_t$

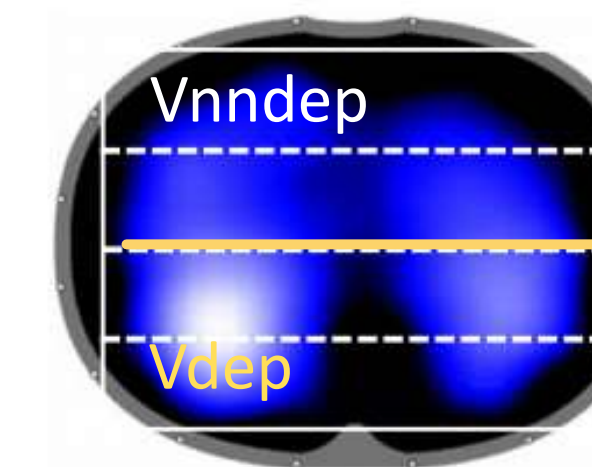
## Homogénéité de la Ventilation

**RV****Ratio de Ventilation**

- Observation de la redistribution de la ventilation suivant des zones d'intérêts



right upper	25%
right lower	30%
left upper	22%
left lower	23%



ventral	10%
mid-ventral	38%
mid-dorsal	40%
dorsal	12%



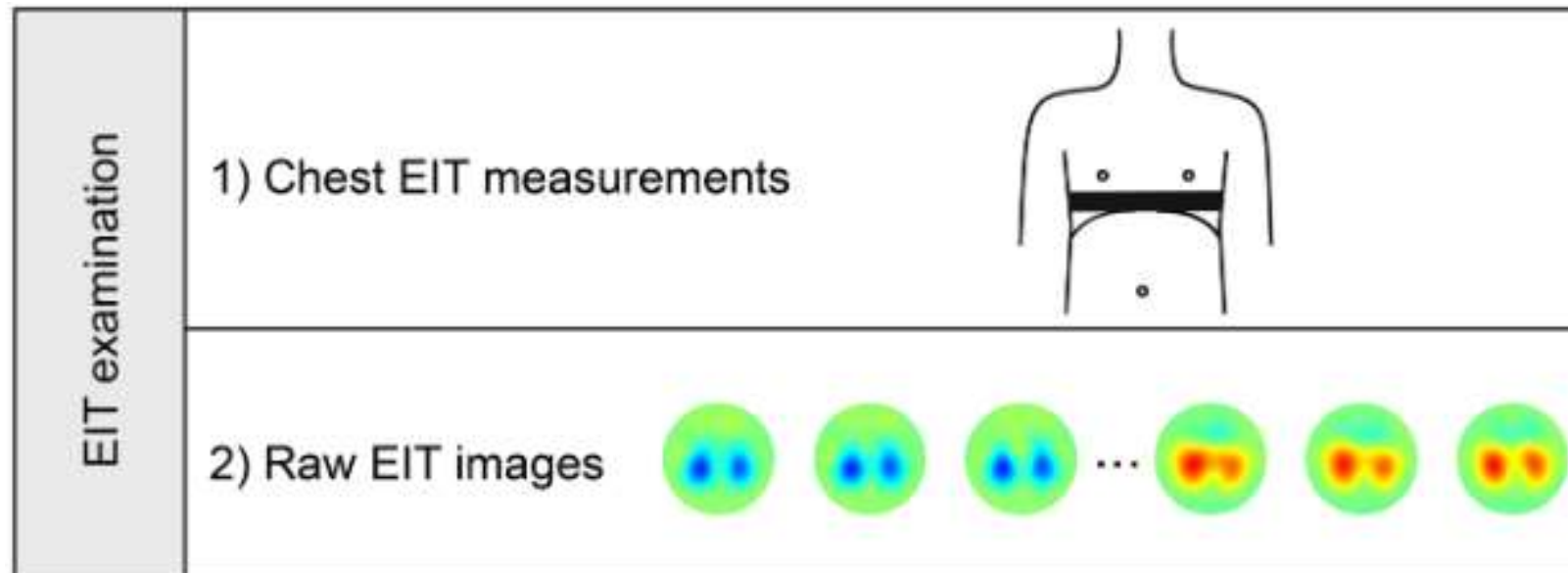
# Monitorage de la fonction Pulmonaire



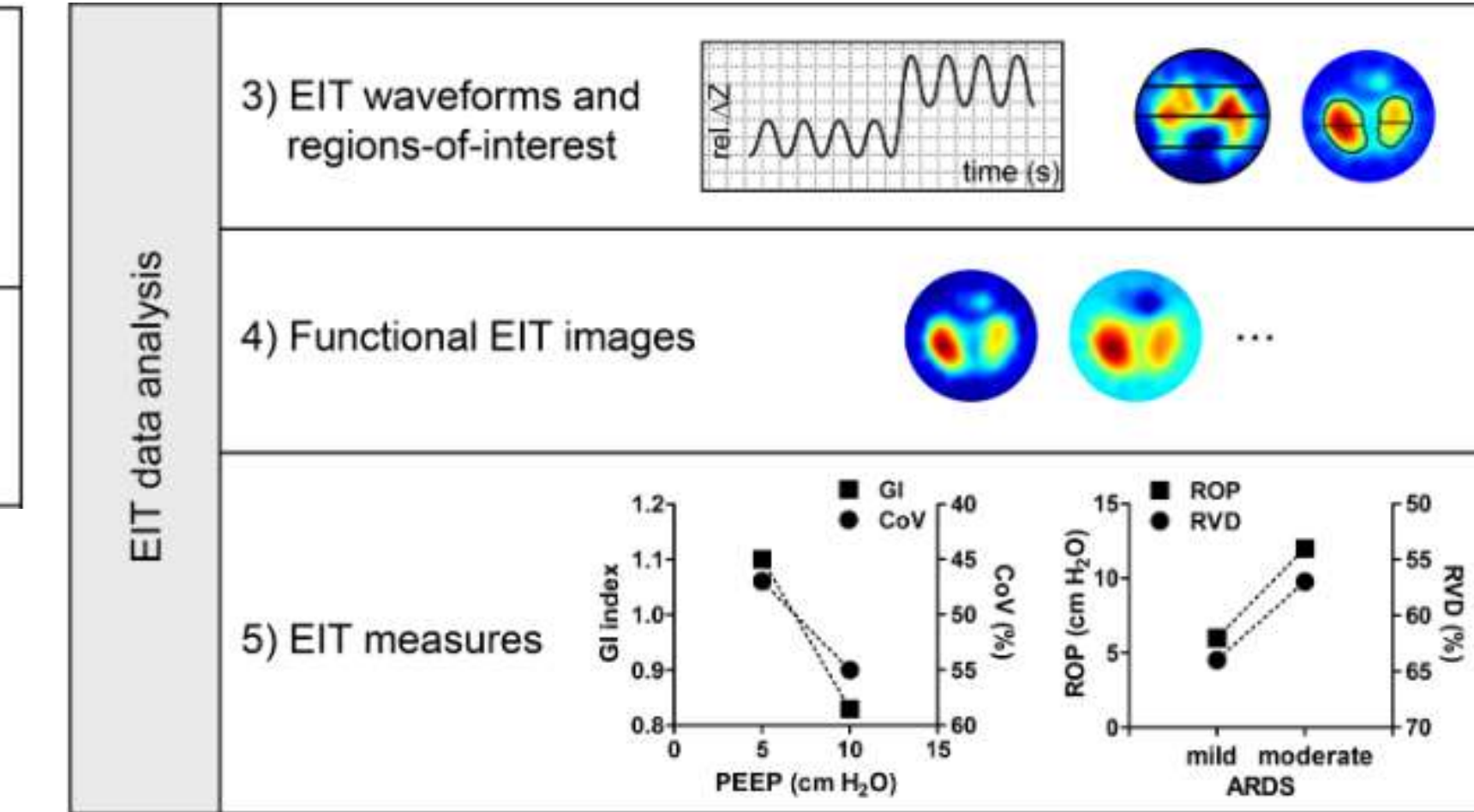
OPEN ACCESS

Chest electrical impedance tomography examination, data analysis, terminology, clinical use and recommendations: consensus statement of the TRanslational EIT developmeNt stuDy group

## Examination du patient



## Analyse des données



# Mise en Place

# Mise en Place

## Contre-Indication



Taille de la ceinture

Humidification des électrodes

Placement ceinture

Référence

Connexion à la centrale

Mise en route TIE

- **DM actif** : Pacemaker, défibrillateur
- **Etat cutanée endommagé, pansement sur la zone d'observation**
- **Risque lié à la mise en place de la ceinture**  
(fracture, lésions spinales, etc.)
- **Mouvement incontrôlables**
- **Electrothérapie en cours**
- Présence d'un champ magnétique (**IRM**)
- **Volume courant < 1 ml/kg**
- **IMC > 50 kg.m<sup>-2</sup>**

TIE

# Mise en Place

Taille de la ceinture

Humidification des électrodes

Placement ceinture

Référence

Connexion à la centrale

Mise en route TIE



S

M

L

XL

XXL

Taille de la ceinture

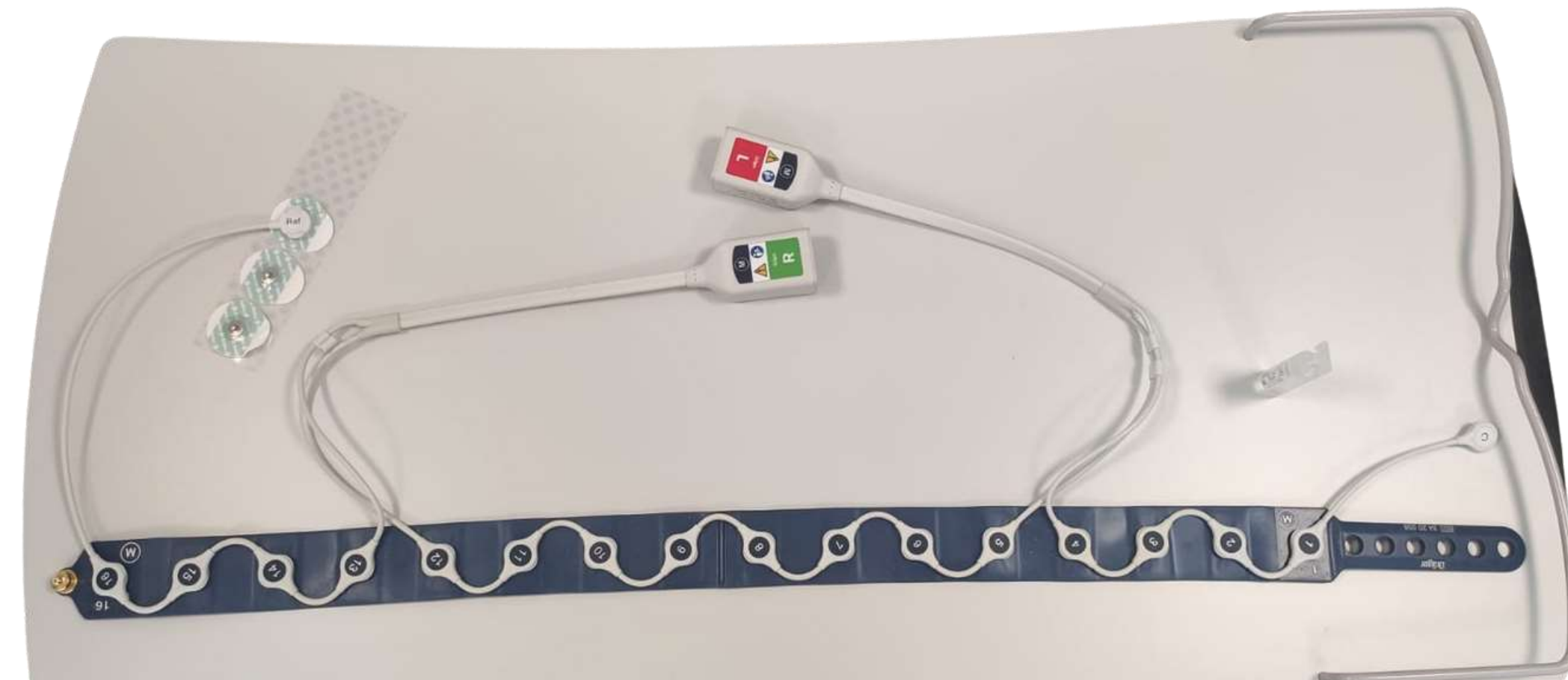
Humidification des électrodes

Placement ceinture

Référence

Connexion à la centrale

Mise en route TIE



# Mise en Place

Taille de la ceinture ✓

Humidification des électrodes

Placement ceinture

Référence

Connexion à la centrale

Mise en route TIE



TIE

# Mise en Place

Taille de la ceinture ✓



Humidification des électrodes ✓



Placement ceinture

Référence

Connexion à la centrale

Mise en route TIE

4-6ème espace intercostale

# Mise en Place

Taille de la ceinture ✓

Humidification des électrodes ✓

Placement ceinture ✓

Référence

Connexion à la centrale

Mise en route TIE



# Mise en Place

Taille de la ceinture ✓

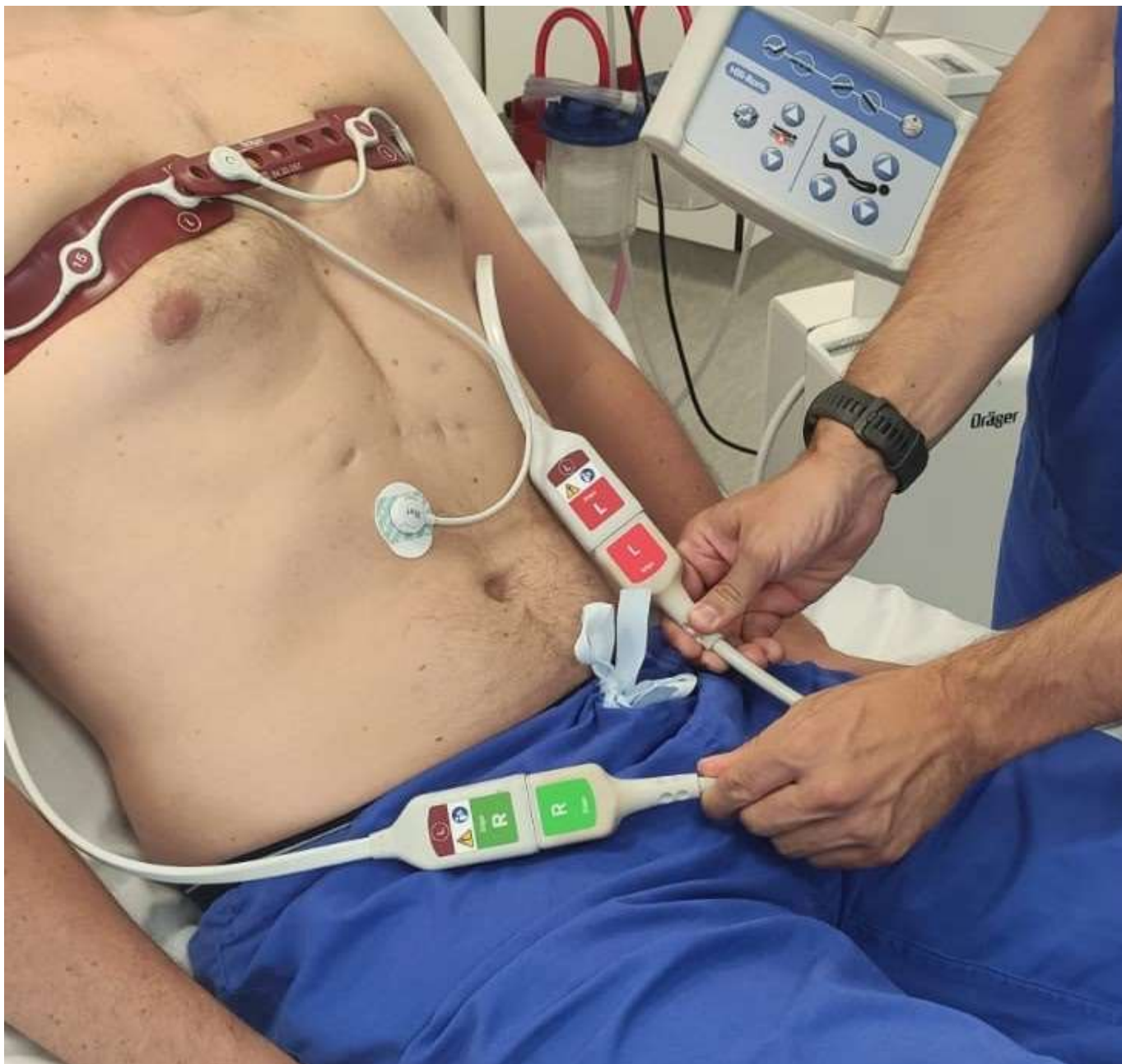
Humidification des électrodes ✓

Placement ceinture ✓

Référence ✓

Connexion à la centrale

Mise en route TIE



# TIE

## Mise en Place

Taille de la ceinture ✓

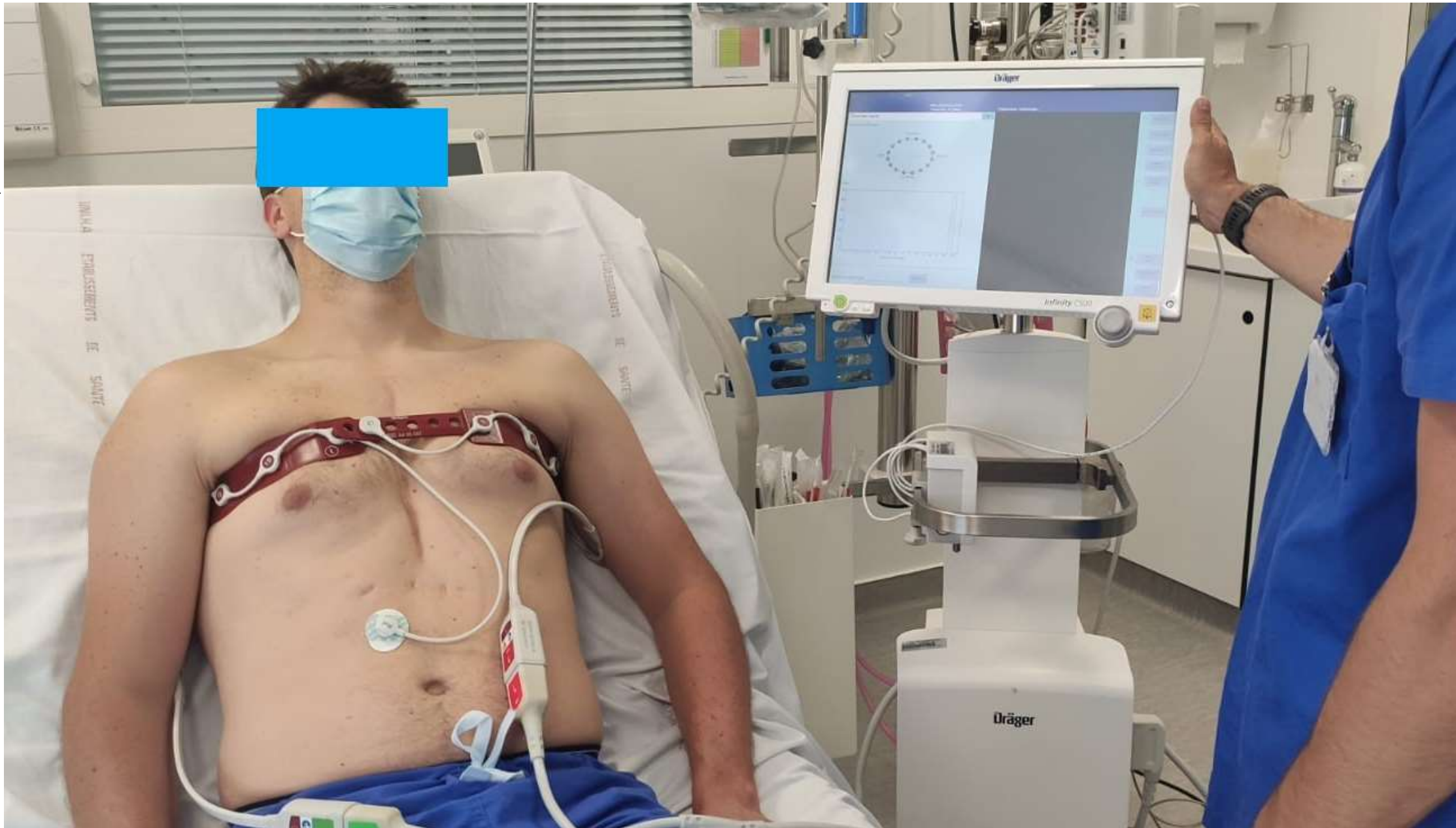
Humidification des électrodes ✓

Placement ceinture ✓

Référence ✓

Connexion à la centrale ✓

Mise en route TIE 





---

TIE

---

Intérêts pour le MKREA

Recherche

&

Applications Cliniques

---

OUTIL DE MONITORAGE

- ✓ Non invasive
- ✓ Au lit du patient
- ✓ Dynamique
- ✓ Validé

OBSERVATION DE LA DISTRIBUTION DE LA VENTILATION EN TEMPS RÉEL

ANALYSE FONCTIONNELLE DES RÉGIONS PULMONAIRES DISTINCTES  
RECRUTEMENT / COMPLIANCE

ANALYSE DE LA RÉPONSE DES RÉGIONS PULMONAIRES À DIFFÉRENTES  
MESURES THÉRAPEUTIQUES

# TIE

## Recherche Clinique

### Etudes Physiologiques



- TIE & Thérapie d'Expansion Pulmonaire
- TIE & Mobilisation précoce
- TIE & Positionnement
- TIE & VNI
- TIE & Sevrage Ventilatoire
- TIE & OHDN
- TIE & Pédiatrie

### Evaluation des pratiques

### Applications Cliniques

Reychler et al. 2018  
Rowley et al. 2019



Hickmann et al. 2020  
Yuan et al. 2021  
Eimer et al. 2021

Lehman et al. 2018  
Riedel et al. 2005

Pérez-Teran et al. 2019  
Bordes et al. 2016

Wang et al. 2021  
Longhini et al. 2019

Mauri et al. 2017  
Zhang et al. 2020  
Yuan et al. 2020

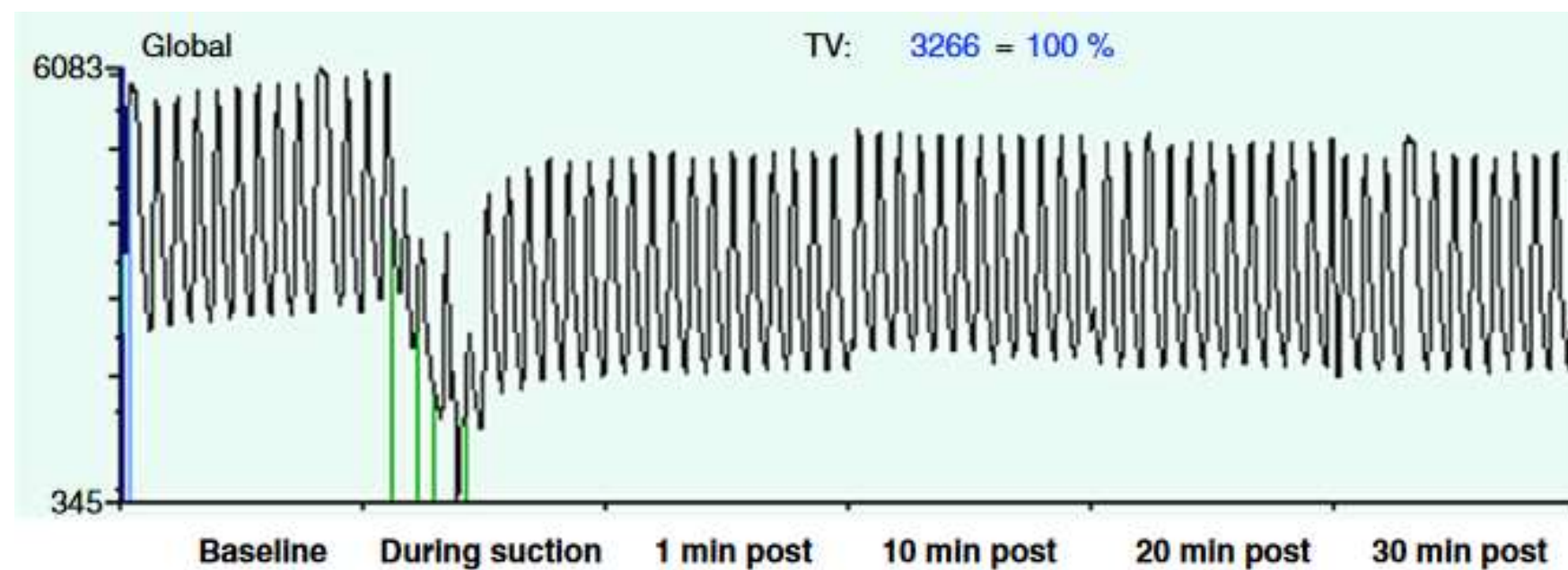
Thomson et al. 2020

## Aspiration EndoTrachéale

## Evaluation des pratiques

**End-expiratory lung volume recovers more slowly after closed endotracheal suctioning than after open suctioning:  
A randomized crossover study<sup>☆</sup>**

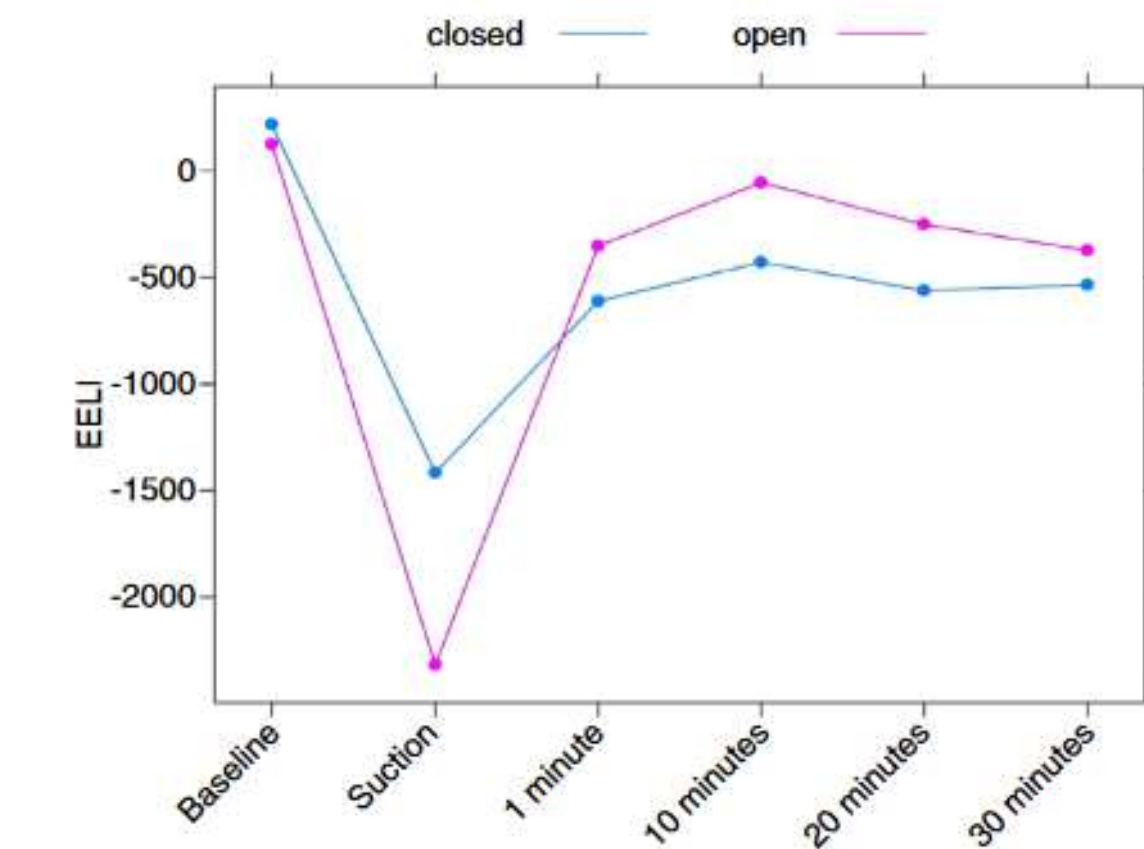
Amanda Corley RN, BN, GradCertHSci<sup>a,\*</sup>, Amy J. Spooner RN, BN, GradDipICU<sup>a</sup>,  
Adrian G. Barnett BSc(Hon), PhD<sup>b</sup>, Lawrence R. Caruana BPty<sup>a</sup>,  
Naomi E. Hammond RN, BN, MN, MPH<sup>a</sup>, John F. Fraser MBChB, PhD<sup>a</sup>



**Fig. 3** Representative recording of lung volume loss during CS and recovery postsuction.

→ Propose une manoeuvre de recrutement post-aspi

**Circuit clos Vs ouvert  
20 patients  
post-chirurgie cardiaque**



**Fig. 4** Mean changes in EELI by suction method demonstrating slower recovery after CS.

## Oxygénation à Haut Débit Nasal (OHND)

## Etude physiologique

### Physiologic Effects of High-Flow Nasal Cannula in Acute Hypoxemic Respiratory Failure

Tommaso Mauri<sup>1,2</sup>, Cecilia Turrini<sup>1,3</sup>, Nilde Eronia<sup>4</sup>, Giacomo Grasselli<sup>1</sup>, Carlo Alberto Volta<sup>3</sup>, Giacomo Bellani<sup>4,5</sup>, and Antonio Pesenti<sup>1,2</sup>

**15 patients en IRA Hypoxémique - P/F < 300**

**Cross over : 20 min OHDN 40 L/min**

**20 min masque facial 12L/min**

↘ FR ↘ travail respiratoire ↗ P/F

✗ Recrutement (EELI) = effet PEEP

✗ Homogénéisation de la ventilation

✗ Sans modification du Vt

→ Limitation des zones de distentions au sein du parenchyme

**Table 3.** Effects of HFNC on Lung Aeration, Homogeneity, and Respiratory Pattern

Variable	Oxygen Facial Mask	High-Flow Nasal Cannula	P Value*
$\Delta EELI_{glob}$ (change from facial mask), % of baseline V <sub>T</sub>	—	51 ± 57	<0.001
$\Delta EELI_{non-dep}$ (change from facial mask), % of baseline V <sub>T</sub>	—	29 ± 36	≤0.001
$\Delta EELI_{dep}$ (change from facial mask), % of baseline V <sub>T</sub>	—	26 ± 33	≤0.01
GI index	0.50 (0.49 to 0.57)	0.47 (0.43 to 0.60)	<0.01
PIF <sub>glob</sub> (change from facial mask), %	—	-15 ± 23	0.07
PEF <sub>glob</sub> (change from facial mask), %	—	-27 ± 22	≤0.001
PIF <sub>non-dep</sub> (change from facial mask), %	—	-11 ± 29	0.29
PIF <sub>dep</sub> (change from facial mask), %	—	-20 ± 19	<0.01
PEF <sub>non-dep</sub> (change from facial mask), %	—	-19 ± 32	0.07
PEF <sub>dep</sub> (change from facial mask), %	—	-34 ± 18	<0.001
T <sub>i</sub> , s	1.2 ± 0.2	1.2 ± 0.3	0.84
T <sub>e</sub> , s	1.3 ± 0.2	1.5 ± 0.6	<0.05
T <sub>i</sub> /T <sub>tot</sub>	0.5 ± 0.0	0.4 ± 0.0	<0.05

# Recherche Clinique

## Oxygénation à Haut Débit Nasal (OHND)

Effect of postextubation high-flow nasal cannula therapy on lung recruitment and overdistension in high-risk patient

Rui Zhang<sup>1†</sup>, Huaiwu He<sup>1†</sup>, Long Yun<sup>1\*</sup> , Xiang Zhou<sup>1</sup>, Xu Wang<sup>1</sup>, Yi Chi<sup>1</sup>, Siyi Yuan<sup>1</sup> and Zhanqi Zhao<sup>2,3</sup>

**24 patients** post-extubation (24h) **réa post-chir** (dig, cardio, tho)

**OHND 0 L/min**, 20min **20 L/m**, 20min **40 L/m**, 20min **60 L/m**

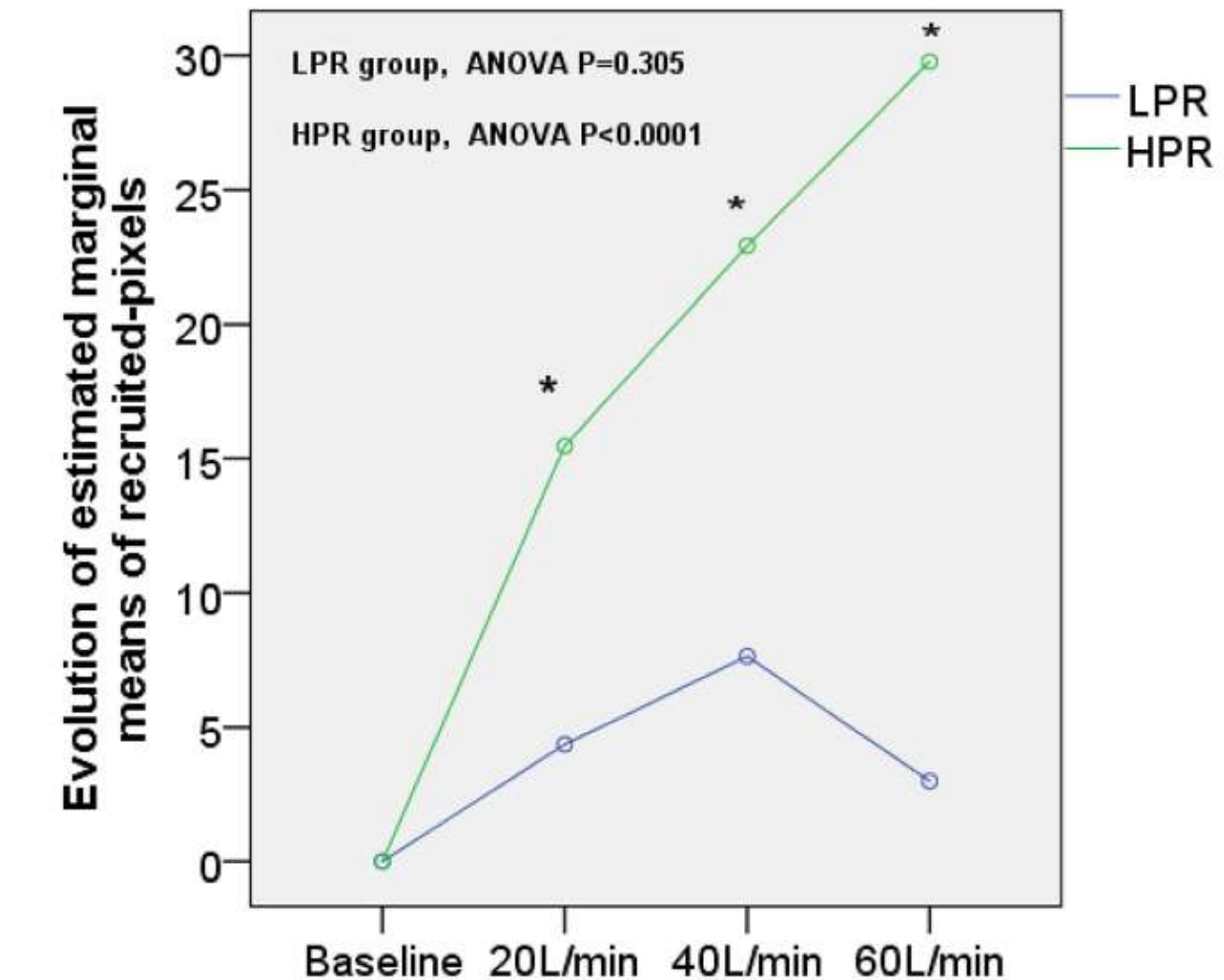
**Analyse ventro-dorsal (4 ROI) : TIV & EELI**

(13) HPR : >10 pixels    Surdistention : > 10 pixels    **Arbitraire**  
(11) LPR : <10 pixels    aéré non ventilé                      **Cut-off ?**

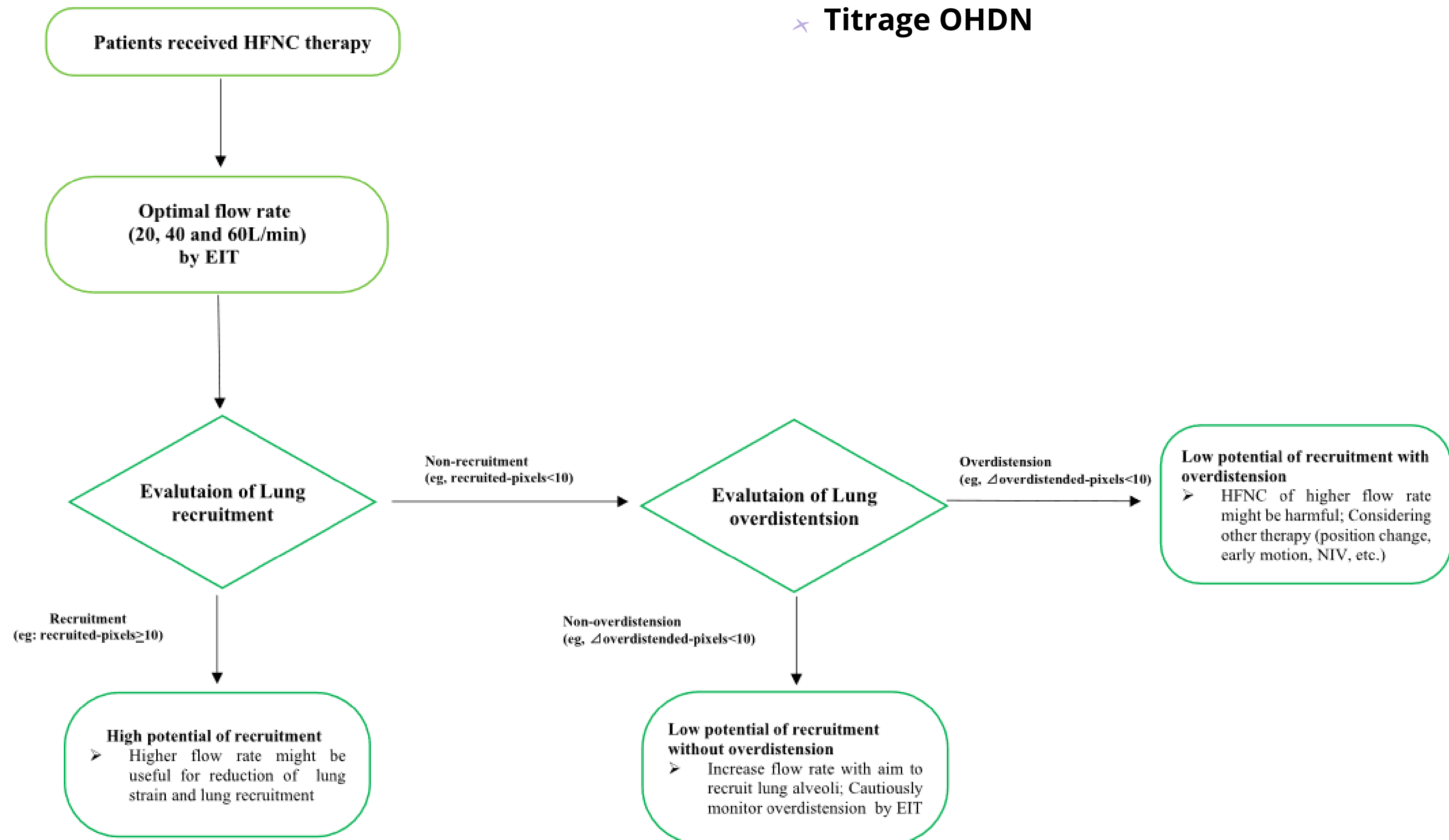
- ✗ **Recrutement (EELI) ROI 3/4**
- ✗ Pas de différences P/F, ROX index entre HPR et LPB
- ✗ **OHND surdistention pixels LPR (4/11) > HPR (0/13)**

→ **TIE monitorage OHDN = Individualisation**

## Application Clinique



## ➤ Triage OHDN



**Fig. 3** Conceptual schematic for using EIT to guide HFNC therapy. NIV, non-invasive ventilation

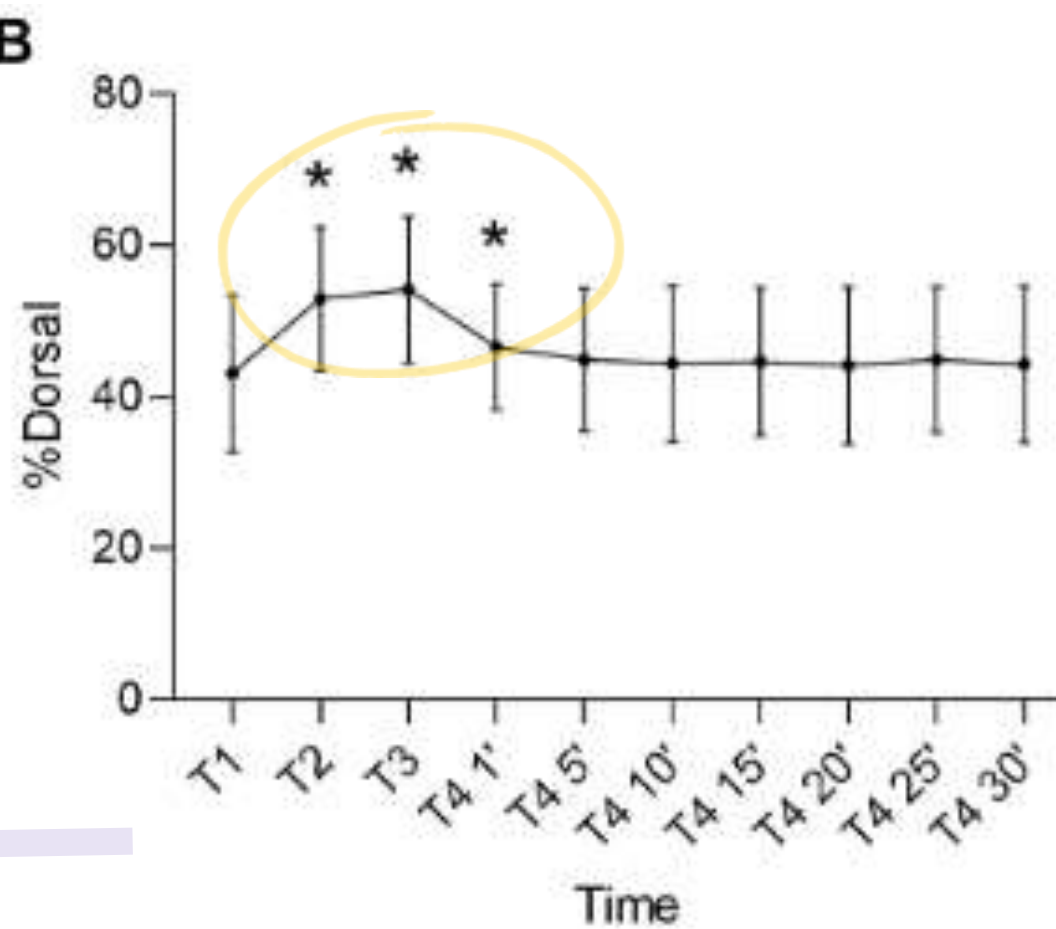
## Mobilisation Précoce

## Etude physiologique

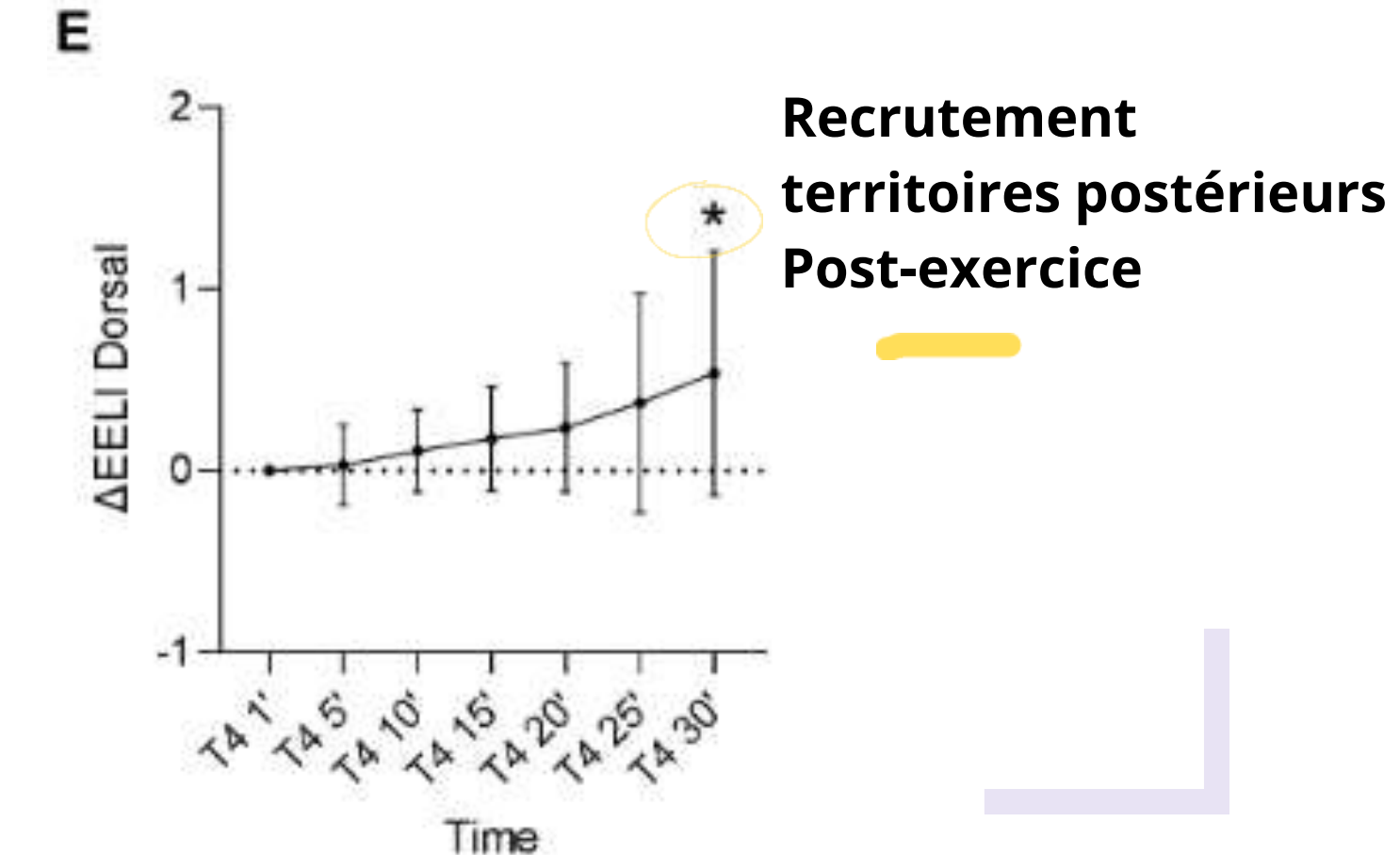
### The Effect of Physical Therapy on Regional Lung Function in Critically Ill Patients

Christine Eimer\*,†, Katharina Freiert†, Norbert Weiler, Inéz Frerichs and Tobias Becher

Department of Anaesthesiology and Intensive Care Medicine, University Medical Centre Schleswig-Holstein, Kiel, Germany



**Redistribution de la ventilation dans les territoires postérieurs Per-exercice**



**Recrutement territoires postérieurs Post-exercice**

## Mobilisation Précoce

## Evaluation des pratiques

### Acute Effects of Sitting Out of Bed and Exercise on Lung Aeration and Oxygenation in Critically Ill Subjects

Cheryl E Hickmann, Natalia R Montecinos-Munoz, Diego Castanares-Zapatero, Ricardo S Arriagada-Garrido, Ursula Jeria-Blanco, Timour Gizzatullin, Jean Roeseler, Jonathan Dugernier, Xavier Wittebole, and Pierre-François Laterre

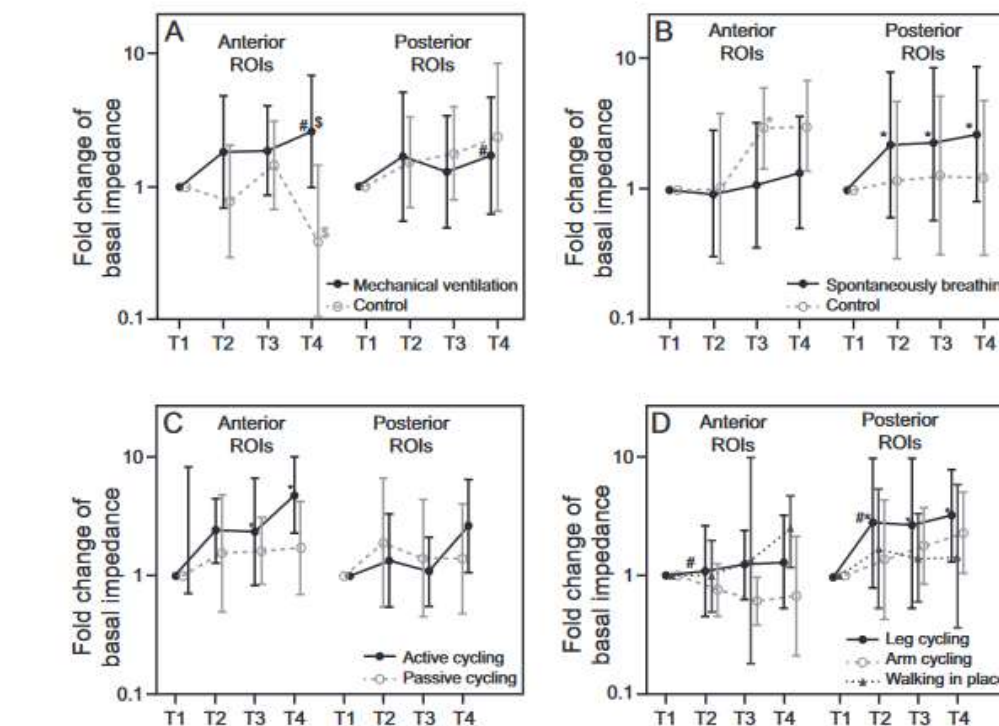
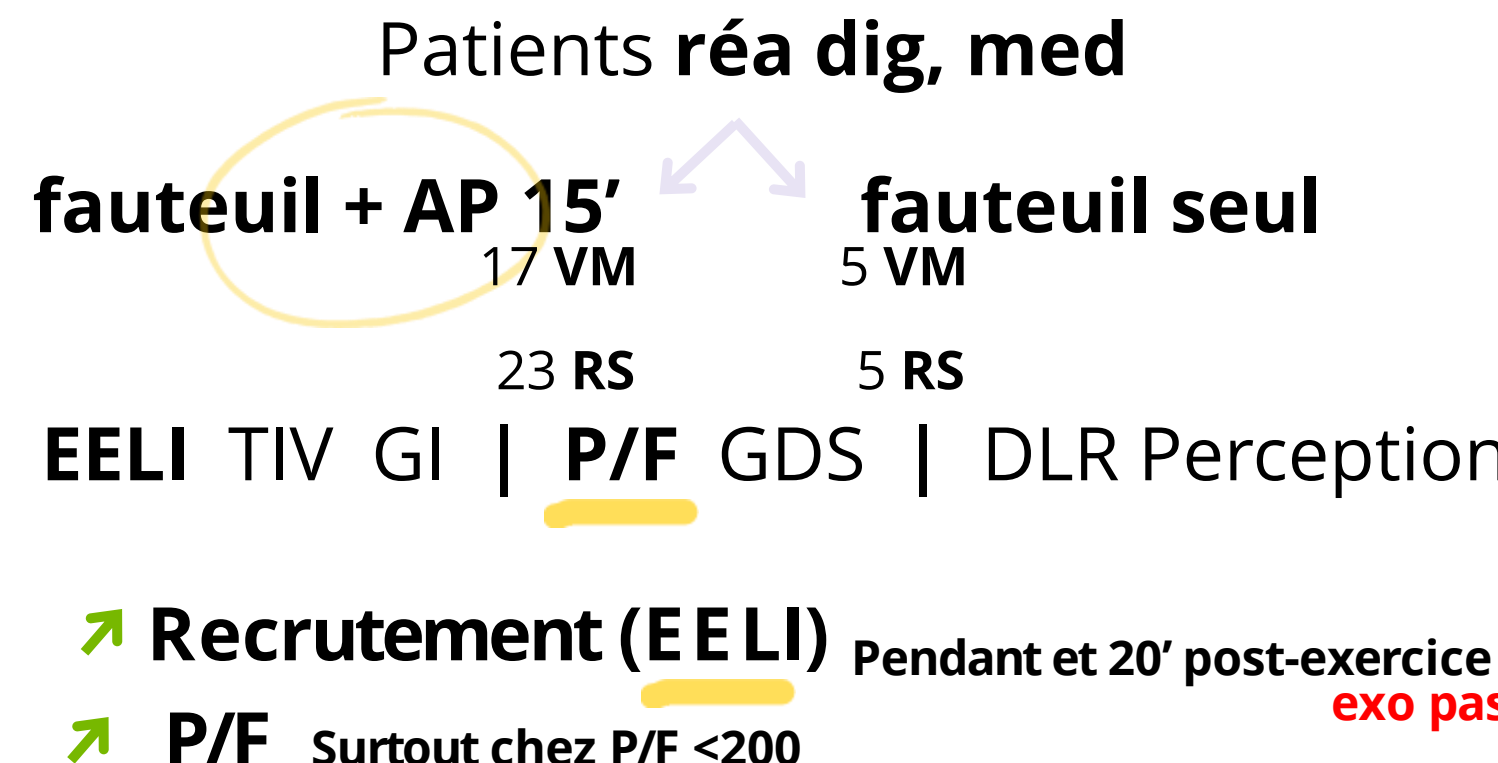


Fig. 2. Lung aeration in anterior and posterior ROIs. A: Mechanically ventilated vs mechanically ventilated control. B: Spontaneously breathing vs spontaneously breathing control. C: Subgroup of mechanically ventilated subjects performing active leg cycling vs mechanically ventilated subjects performing passive leg cycling. D: Subgroups of spontaneously breathing subjects performing three different activities: leg cycling, arm cycling, and walking in place. Values are geometric means (geometric SD) and are fold changes of impedance from basal (T1 = reference) to T2, T3, and T4. T1 = baseline in bed; T2 = sitting in chair; T3 = exercising (resting in chair in control groups); and T4 = resting in chair. \*Values are significant vs T1. #Values are significant between anterior and posterior ROIs. \$Values are significant between mechanically ventilated subjects and mechanically ventilated controls. ROI = region of interest.

## Sevrage Ventilatoire

## Etude Physiologique / Application Clinique

Electrical impedance tomography during spontaneous breathing trials and after extubation in critically ill patients at high risk for extubation failure: a multicenter observational study



78 patients réa med

I/V > 48h

SBT 30 min - 2PEP 0AI

Federico Longhini<sup>1</sup>, Jessica Maugeri<sup>2</sup>, Cristina Andreoni<sup>3</sup>, Chiara Ronco<sup>1</sup>, Andrea Bruni<sup>4</sup>, Eugenio Garofalo<sup>4</sup>, Corrado Pelaia<sup>4</sup>, Camilla Cavicchi<sup>3</sup>, Sergio Pintaudi<sup>2</sup> and Paolo Navalesi<sup>4\*</sup>

- ✖ Distribution TIV% - EELI - GI index
- ✖ FR - Vt - GDS



SBT 0 - SBT30 SB 0 - SB30  
Extubation

**Table 3 EIT data in patients with SBT success and failure**

	SBT success (n=61)			SBT failure (n=17)			Success vs. failure
	Baseline	SBT_0	SBT_30	Baseline	SBT_0	SBT_30	
ΔVt%	0 [0; 0]	-16.4 [-37.0; -2.5]	-12.9 [-35.0; 5.0]	0 [0; 0]	-27.6 [-51.0; -16.0]	-22.9 [-50.6; -13.3]	p > 0.999 <sup>a</sup> p = 0.079 <sup>b</sup> p = 0.054 <sup>c</sup>
ΔEELI (ml)	0 [0; 0]	-117 [-240; 21]	-103 [-292; 62]	0 [0; 0]	-456 [-934; -162]	-333 [-1375; -157]	p > 0.999 <sup>a</sup> p < 0.001 <sup>b</sup> p = 0.001 <sup>c</sup>
Inhomogeneity index	51 [44; 61]	56 [48; 71]	57 [46; 70]	65 [54; 87]	89 [61; 105]	90 [62; 101]	p = 0.002 <sup>a</sup> p = 0.003 <sup>b</sup> p = 0.005 <sup>c</sup>

SBT: Spontaneous Breathing Trial; SBT\_0: first 5 min after the beginning of the SBT; SBT\_30: last 5 min of the SBT; ΔVt%: change from baseline of the tidal volume in percentage; ΔEELI: change from baseline of the end-expiratory lung impedance

<sup>a</sup> Comparison between groups within baseline

<sup>b</sup> Comparison between groups within SBT\_0

<sup>c</sup> Comparison between groups within SBT\_30. According to Bonferroni correction, the threshold for statistical significance is p < 0.017

→ Dérecrutement (EELI) et Ventilation Hétérogène

**Table 4 EIT data in patients with extubation success and failure**

	<b>Baseline</b>	<b>SBT_0</b>	<b>SBT_30</b>	<b>SB_0</b>	<b>SB_30</b>
<b>ΔVt%</b>					
Extubation success ( <i>n</i> =39)	0 [0; 0]	-12 [-31; 0]	-9 [-29; 7]	-3 [-16; 18]	-12 [-34; 19]
Extubation failure ( <i>n</i> =22)	0 [0; 0]	-25 [-42; -10]	-29 [-45; -11]	-21 [-39; 1]	-22 [-46; -11]
Extubation success vs. failure	<i>p</i> >0.999	<i>p</i> =0.117	<i>p</i> =0.024	<i>p</i> =0.014	<i>p</i> =0.061
<b>ΔEELI (ml)</b>					
Extubation success ( <i>n</i> =39)	0 [0; 0]	-125 [-237; 23]	-78 [-250; 115]	-187 [-488; 82]	-60 [-371; 256]
Extubation failure ( <i>n</i> =22)	0 [0; 0]	-112 [-316; 17]	-194 [-335; -59]	-236 [-438; 139]	-290 [-537; 152]
Extubation success vs. failure	<i>p</i> >0.999	<i>p</i> =0.671	<i>p</i> =0.253	<i>p</i> >0.999	<i>p</i> =0.132
<b>Inhomogeneity index</b>					
Extubation success ( <i>n</i> =39)	46 [42; 63]	53 [44; 68]	56 [44; 70]	52 [45; 66]	53 [45; 69]
Extubation failure ( <i>n</i> =22)	53 [48; 60]	65 [55; 80]	62 [54; 71]	64 [50; 79]	66 [55; 74]
Extubation success vs. failure	<i>p</i> =0.166	<i>p</i> =0.025	<i>p</i> =0.132	<i>p</i> =0.049	<i>p</i> =0.029

SBT: Spontaneous Breathing Trial; SBT\_0: first 5 min after the beginning of the SBT; SBT\_30: last 5 min of the SBT; SB\_0: first 5 min of the spontaneous breathing; SB\_30: last 5 min of the spontaneous breathing; ΔVt%: change from baseline of the tidal volume in percentage; ΔEELI: change from baseline of the end-expiratory lung impedance

According to Bonferroni correction, the threshold for statistical significance is *p*<0.017

→ Pas de différences significatives ou de critères prédictifs (TIE et clinique) identifiés

# TIE

## Applications Cliniques

### Intérêt MKREA

Guider les choix thérapeutiques  
Evaluation efficacité  
Individualisation

Intubé / Ventilé / Sédaté

- Positionnement
- Désencombrement
- Réglage PEEP

*Pluridisciplinaire*

Vigile / RS

- Positionnement
- Technique de VNI
- Désencombrement
- BioFeedBack



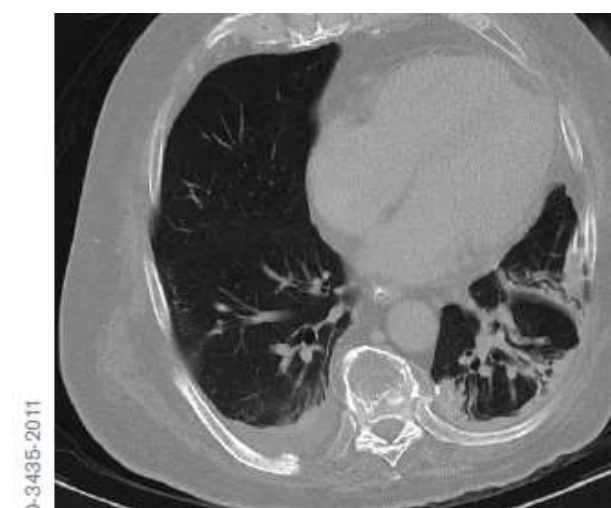
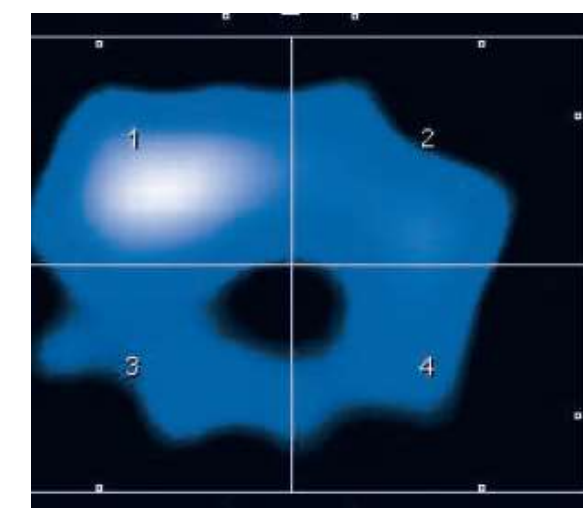


## LIMITES et Biais

Frerichs et al. 2017

Freins à la  
pratique clinique

- Analyse d'une section transversale
- Temps de mesure : 24h maximum
- Perturbations des mesures
  - Environnement / Pansements
  - Mouvements / Paroles
  - Repositionnement ceinture
- Basse résolution spatiale



---

TIE

MKREA

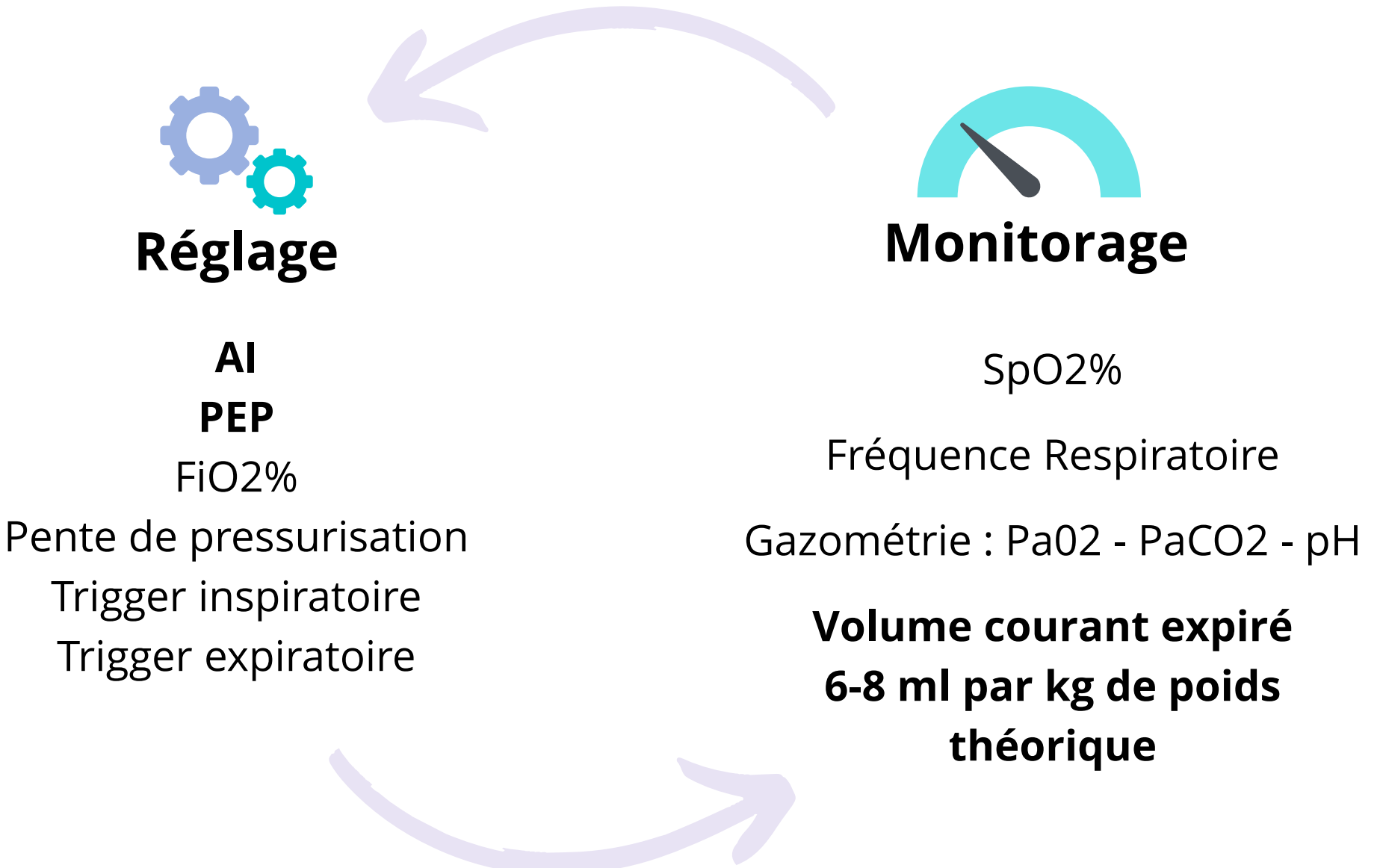
# Ventilation Non Invasive

## *Retour Expérience*

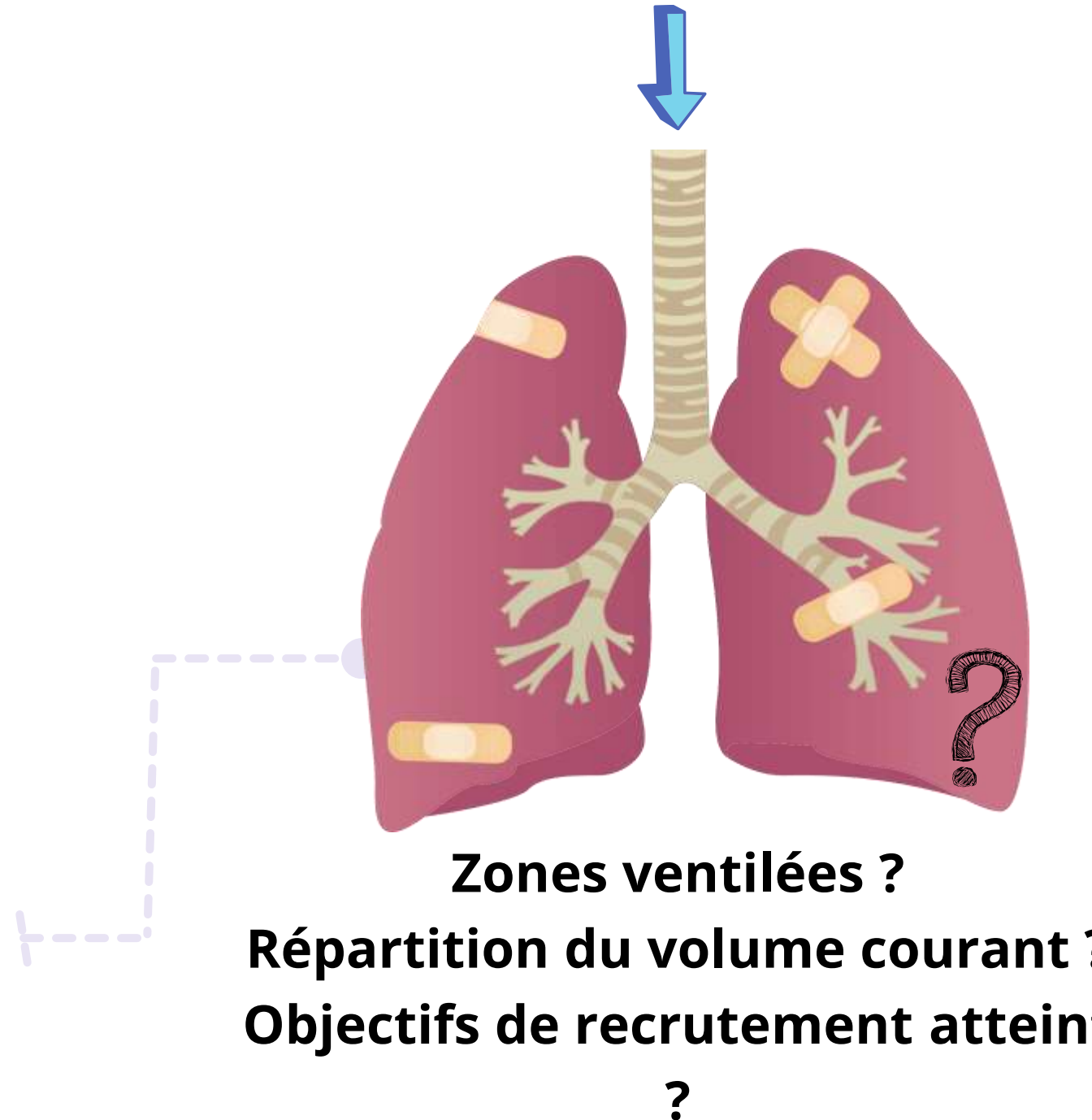


# TIE

## Ventilation Non Invasive

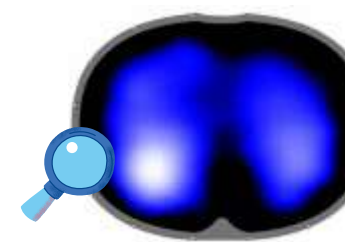


Jaber et al.  
2010



# TIE

## Evaluation pratique : VNI et TIE



Distribution volume courant  
Recrutement alvéolaire

### Patient Mr D - J5 Lobectomie inférieure droite

- J0 : intervention LID - thoracotomie - CBNPC
- J1: réanimation thoracique
- J5 : secteur thoracique
  - Oxygénorequerant : SpO<sub>2</sub> 91% en AA
  - Auscultation : sibilants champ droit / **hypoventilation droite**
  - Douleur 2/10 (EN)
  - Drain pleural droit : ablation le 21/11/2020



Prescription PPC

Recrutement alvéolaire poumon droit

- ✓ Patient - J5 LID
- ✓ PPC prescrite
- ✓ Pas de contre-indications EIT
- ✓ Consentant

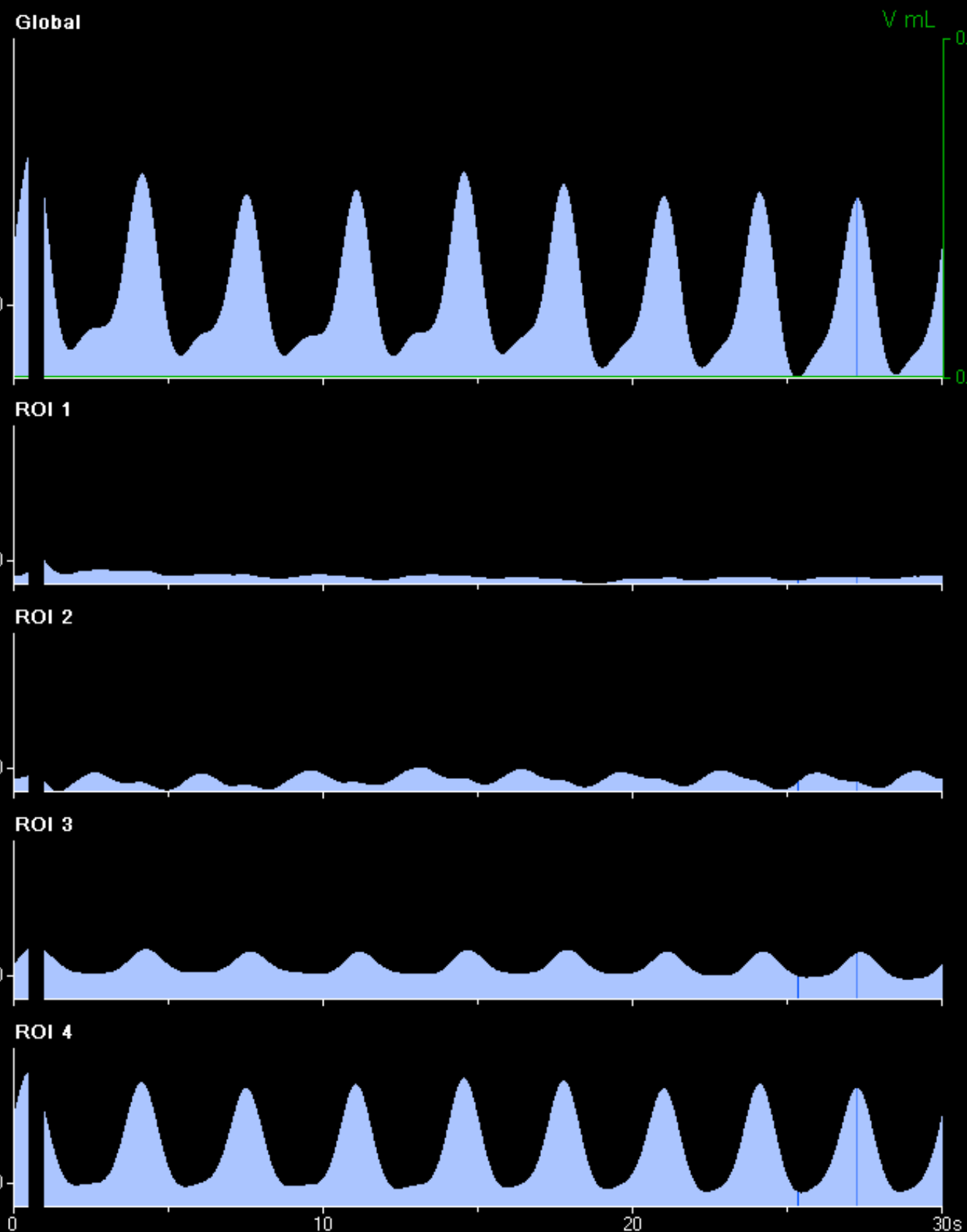
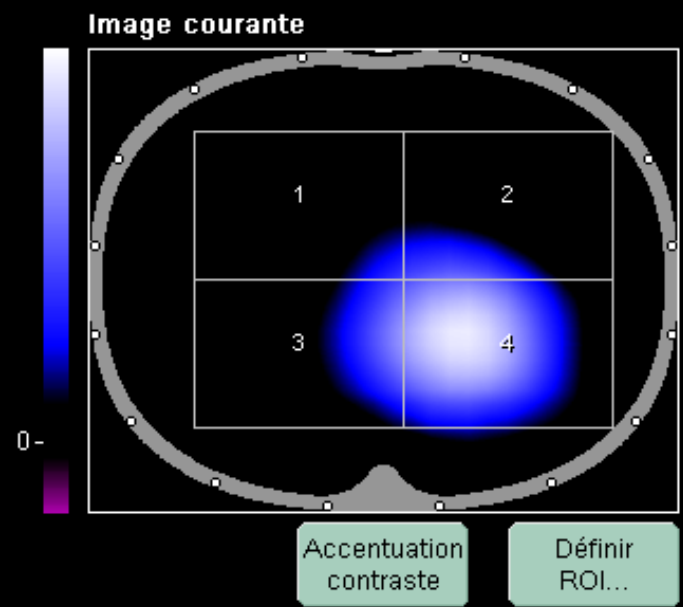
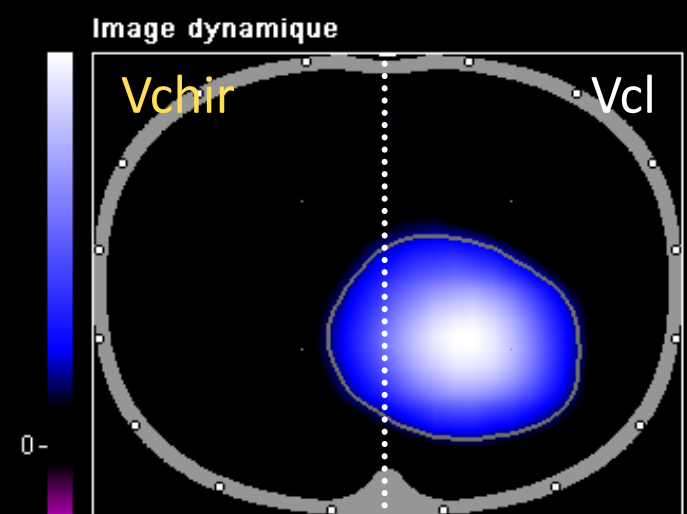


16:33

Haute

Filtre d'artefact activé  
Passe-bas 35 [°/min]

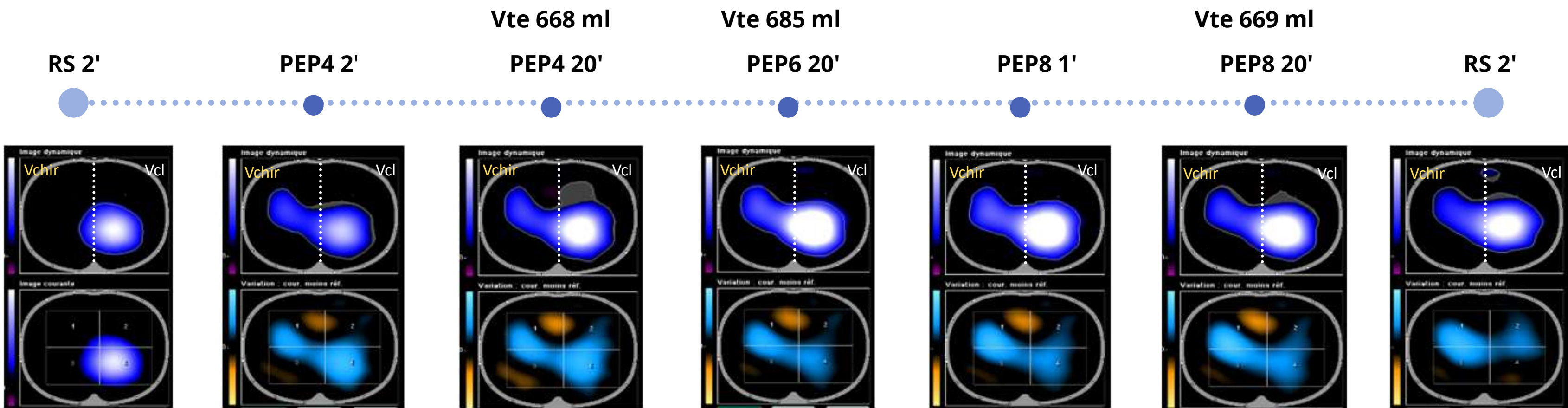
Qualité signal



# TIE

## Evaluation pratique

Mr D - 65 ans - J5 LID - Séance PPC 60' - Vt cible (8ml/kgpp) : 572 ml



- ✓ Nouveaux territoires pulmonaires recrutés
- ✓ Répartition plus homogène du Vt
- ✓ SpO<sub>2</sub> 98%
- ✓ Patient confortable, somnolant



# Evaluation pratique 2 : VNI et TIE

Cas clinique Mr B 45 ans - J3 Décortication pleurale gauche

- **HDM** : Pneumopathie Grippe A  
**Pleuropneumopathie poumon gauche**
- **J0** : Décortication pleurale poumon gauche
- **J3** : réanimation thoracique
  - **Oxygénorequerant** : SpO<sub>2</sub> 94% sous 2L O<sub>2</sub>
  - **Auscultation** : hypoventilation poumon gauche
  - **Rx** : atelectasie poumon gauche
  - Drain pleural gauche : en aspiration, bullage



## Prescription PPC intermittente

Reexpansion pulmonaire poumon gauche  
Recrutement alvéolaire poumon gauche

- ✓ Patient - J3 Décortication pleurale
- ✓ PPC prescrite
- ✓ Pas de contre-indications EIT
- ✓ Consentant

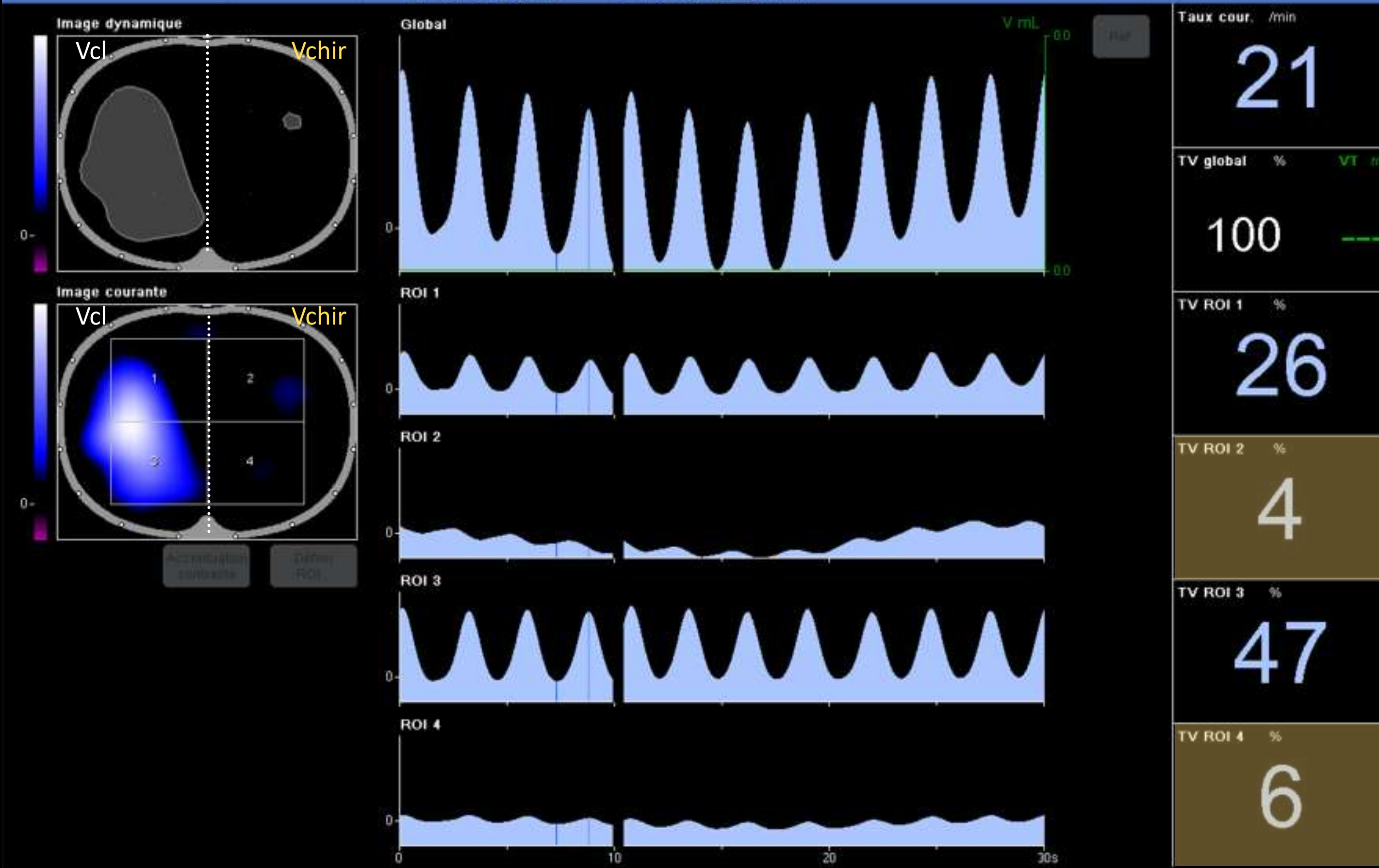


15:27

Haute

Filtre d'artefact activé  
Passe-bas 35 [1/min]

Qualité signal      Gel écran

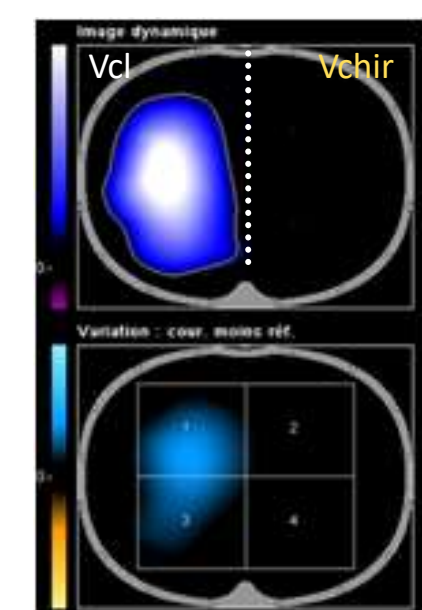
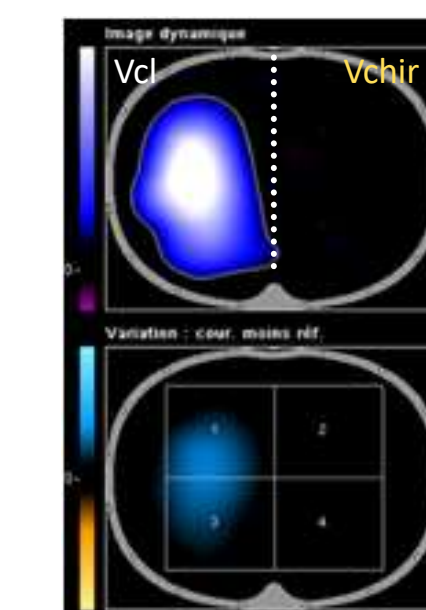
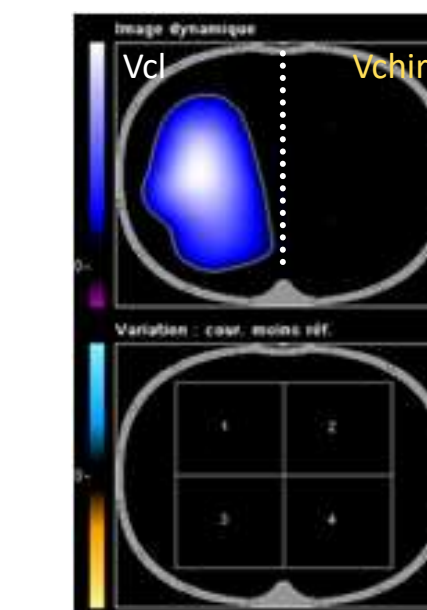
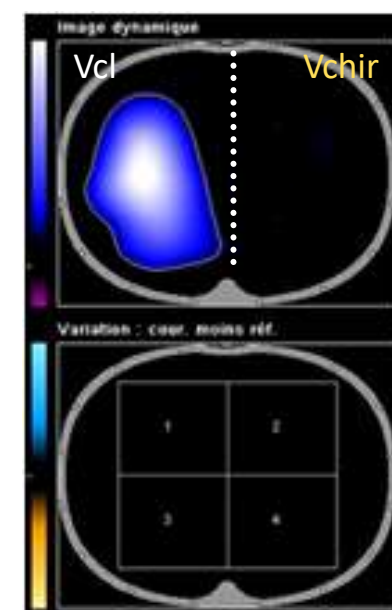
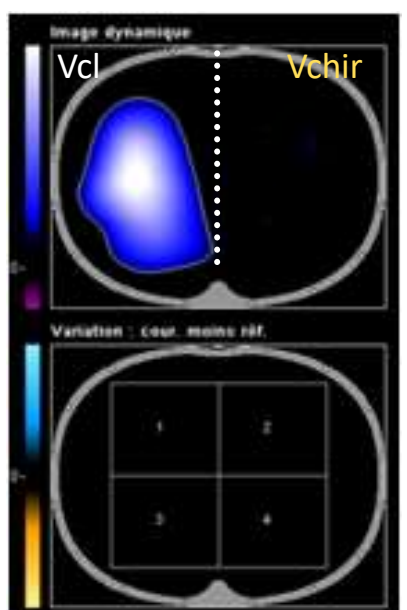


TIE

# Evaluation pratique 2

**Mr B - 45 ans - J3 DPG - Séance PPC 30' à 60' - Vt cible (8ml/kgpp) : 600 ml**

**Vte 532 ml**      **Vte 590 ml**      **Vte 497 ml**      **Vte 737 ml**  
**RS**      **PEP5 5'**      **PEP7 5'**      **PEP10 10'**      **PEP15 10'**



- ✓ Pas de nouveaux territoires pulmonaires recrutés
  - ✓ Pas d'homogénéisation du Vt
  - ✓ Patient confortable, somnolant

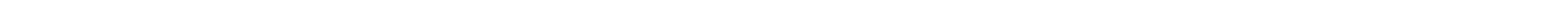
---

TIE

MKREA

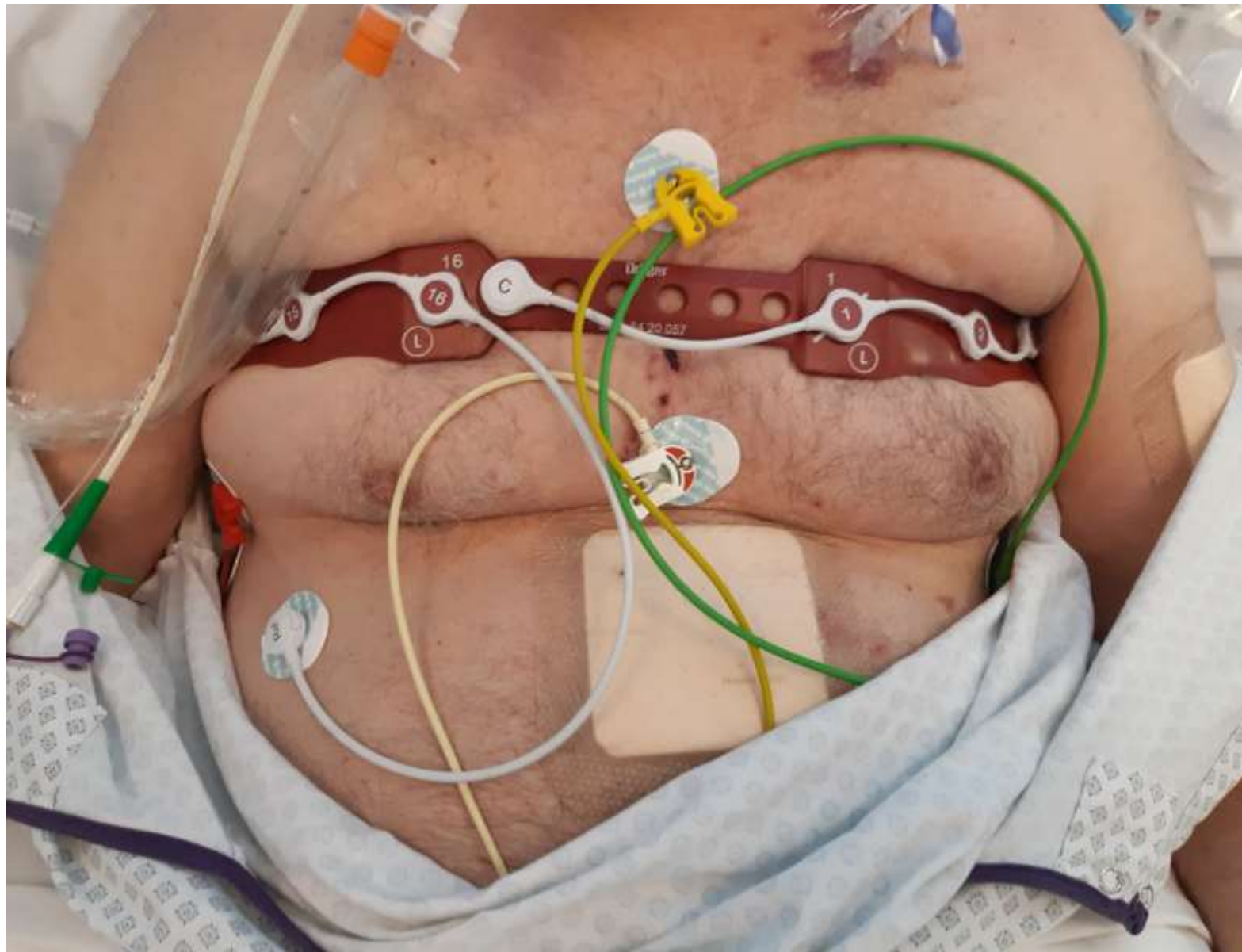
# Titrage de la PEEP

## *Retour Expérience*



## Evaluation pratique 3 : PEEP TRIAL

Mr Z - SARS-COV2 J7 intubé / ventilé / sédaté



- immunodéficient, IMC>30
- Patient répondeur ?
- Curarisé pour le PEEP trial

14:26

Haute

Filtre d'artefact activé

Qualité signal

## Effectuer analyse

X

Aide...

Affichage...

Gel écran

Copie d'écran

Repère événement...

Revue des données...

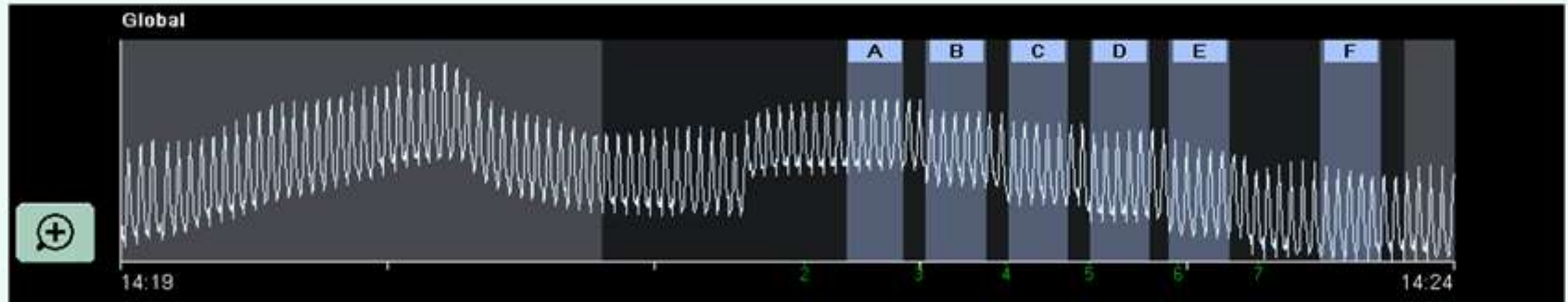
Enregistrement

Effectuer analyse...

Contrôle signal...

Paramétrage système...

Marche/Veille...

Images courantes  
Délai de vent:

Démarrer analyse

Recrute-  
bilité

PEP Trial

Personna-  
lisée

5 min

Actualiser

Sections

RVD

Diminution de  
compliance

Définir sections

Automatique

Ajouter  
sectionSupprimer  
section

Respirations par section

5

Section de référence pour analyses  
de recrutabilité et personnalisée

A

Liste d'évé-  
nements...

14:26

Haute

Filtre d'artefact activé

Qualité signal

Aide...

Affichage...

Gel écran

Copie d'écran

Repère événement...

Revue des données...

Enregistrement

Effectuer analyse...

Contrôle signal...

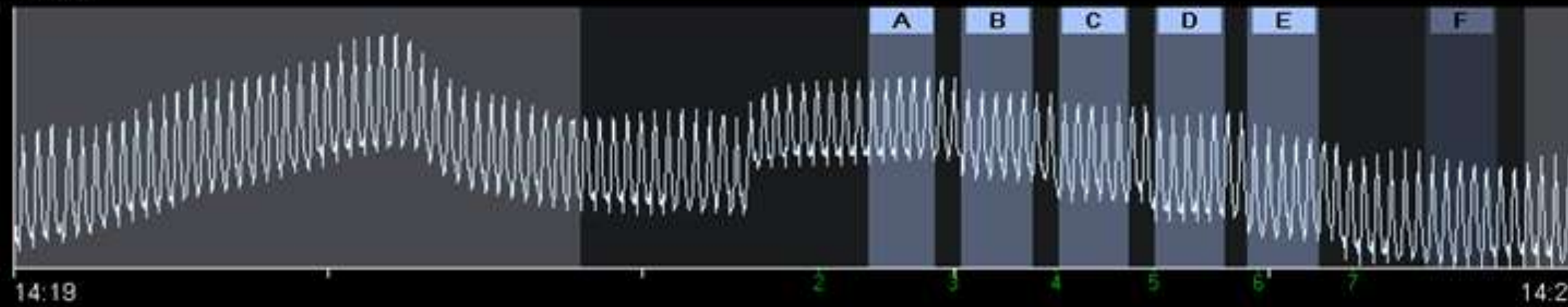
Capturer analyse

Paramétrage système...

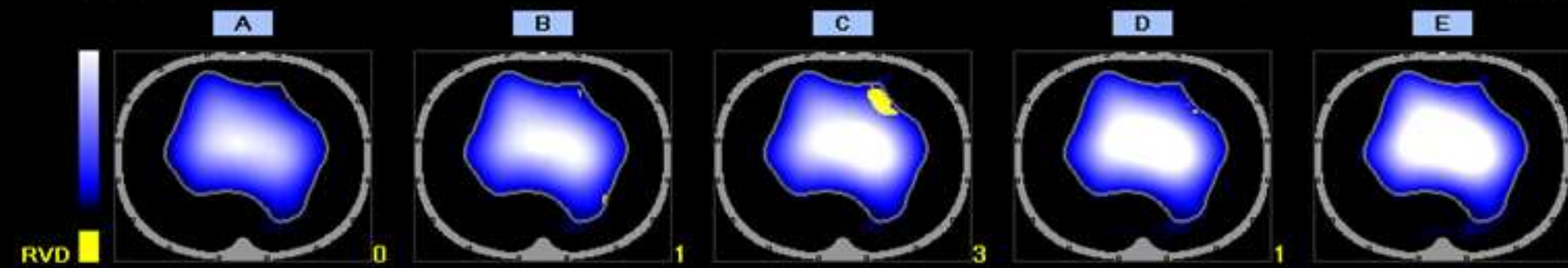
Réviser analyse

Marche/Veille...

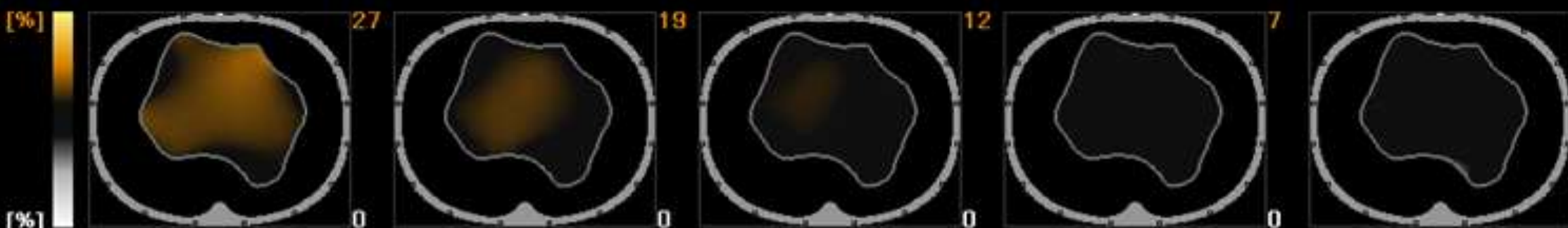
Global



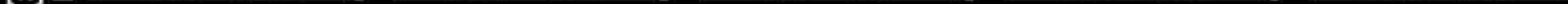
Images courantes +  
Délai de vent. rég.



C loss HP [%]



C loss LP [%]



RVD Ratio [%]

C loss HP [%]

C loss LP [%]



Liste d'événements...

Créer rapport

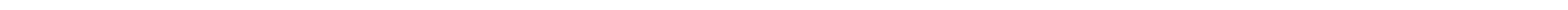
---

TIE

MKREA

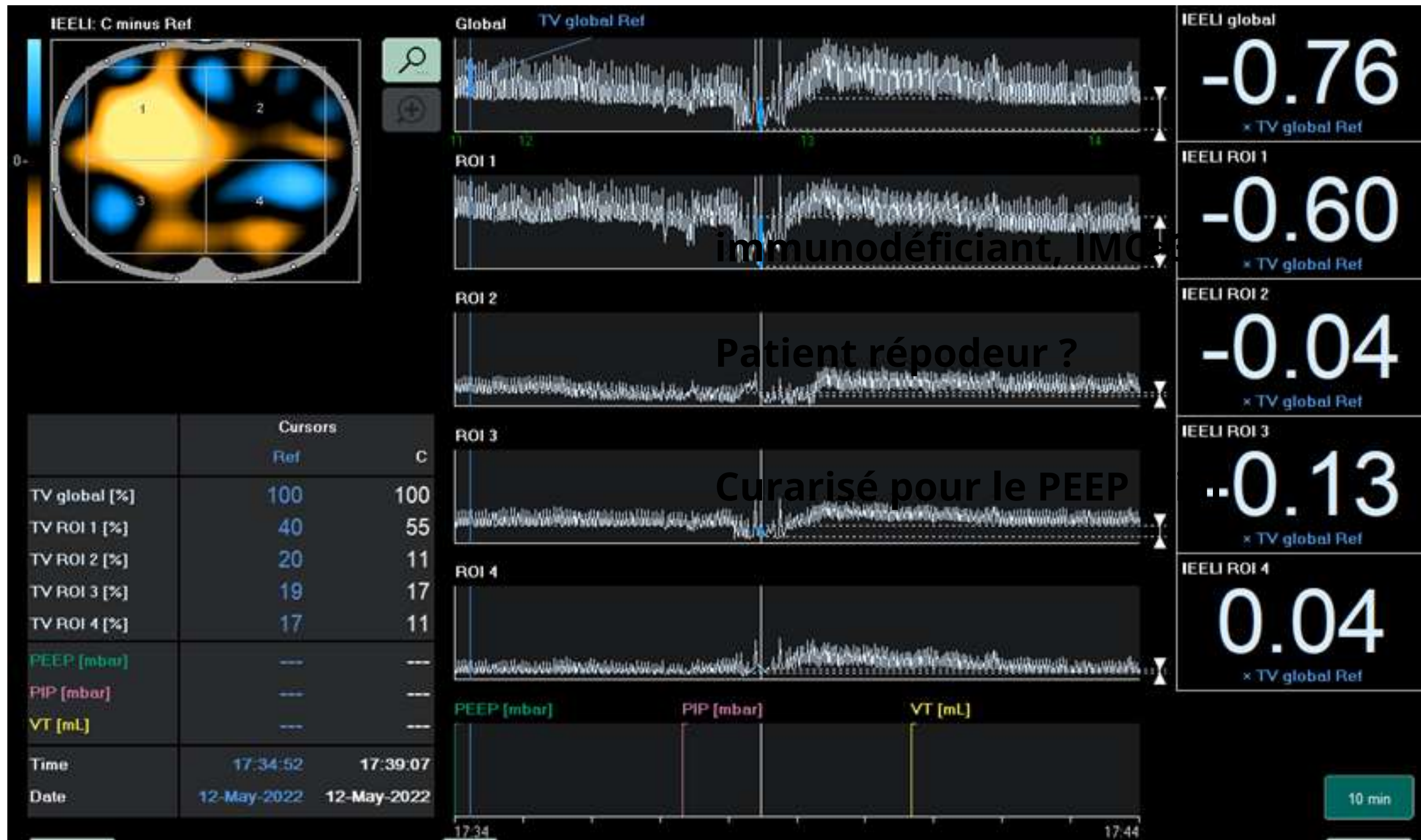
# Aspiration Endotrachéale

*Retour Expérience*



# Aspiration Endorachéale

- Dérecrutement Global
- Retour à l'état de base





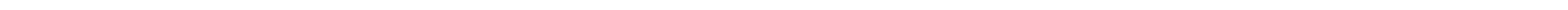
---

TIE

MKREA

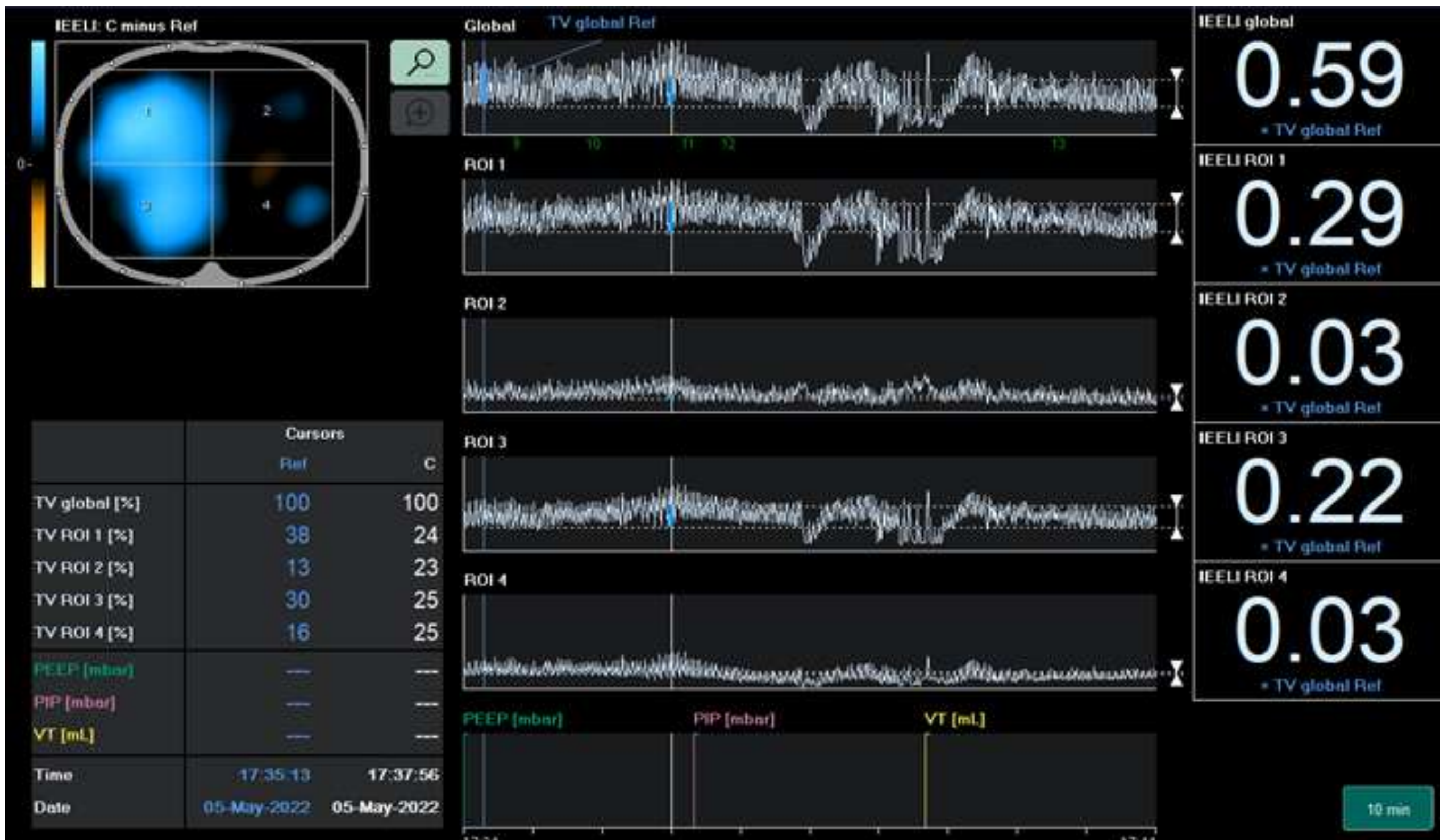
# **Manoeuvre de recrutement**

## *Retour Expérience*



# Manoeuvre de recrutement

- Insufflation  
Inex  
20 cmH<sub>2</sub>O  
2,5s
- Léger  
recrutement  
ROI2 / ROI4
- Distention  
ROI1 / ROI3



→ Place dans l'arsenal d'outils d'évaluation ?

- Clinique -
- Auscultation -
- GDS -
- Rx -
- Echographie -

Complémentarité

Bénéfices  
Théoriques



Bénéfices  
Cliniques ?

TIE

CONTRIBUTION



## Evaluation des pratiques Recherche Clinique



## Individualisation du soin Pratique Clinique

## Outils Pédagogique Formation

## Références

- Adler, Andy, Marcelo Amato, John Arnold, Richard Bayford, Marc Bodenstein, Stephan Bohm, Brian Brown, et al. 2012. « Whither lung EIT: Where are we, where do we want to go and what do we need to get there? » *Physiological measurement* 33 (avril): 679-94. <https://doi.org/10.1088/0967-3334/33/5/679>.
- Barber, D C, et B H Brown. s. d. « Applied Potential Tomography », 12.
- Bordes, Julien, Philippe Goutorbe, Pierre Julien Cungi, Marie Caroline Boghossian, et Eric Kaiser. 2016. « Noninvasive Ventilation during Spontaneous Breathing Anesthesia: An Observational Study Using Electrical Impedance Tomography ». *Journal of Clinical Anesthesia* 34 (novembre): 420-26. <https://doi.org/10.1016/j.jclinane.2016.04.016>.
- Costa, Eduardo L. V., João Batista Borges, Alexandre Melo, Fernando Suarez-Sipmann, Carlos Toufen, Stephan H. Bohm, et Marcelo B. P. Amato. 2009. « Bedside Estimation of Recruitable Alveolar Collapse and Hyperdistension by Electrical Impedance Tomography ». *Intensive Care Medicine* 35 (6): 1132-37. <https://doi.org/10.1007/s00134-009-1447-y>.
- Eimer, Christine, Katharina Freier, Norbert Weiler, Inéz Frerichs, et Tobias Becher. 2021. « The Effect of Physical Therapy on Regional Lung Function in Critically Ill Patients ». *Frontiers in Physiology* 12 (septembre): 749542. <https://doi.org/10.3389/fphys.2021.749542>.
- Frerichs, Inéz, Marcelo B. P. Amato, Anton H. van Kaam, David G. Tingay, Zhanqi Zhao, Bartłomiej Grychtol, Marc Bodenstein, et al. 2017. « Chest Electrical Impedance Tomography Examination, Data Analysis, Terminology, Clinical Use and Recommendations: Consensus Statement of the TRanslational EIT DevelopmeNt StuDy Group ». *Thorax* 72 (1): 83-93. <https://doi.org/10.1136/thoraxjnl-2016-208357>.
- Genderingen, Huibert R. van, Adrianus J. van Vught, et Jos R. C. Jansen. 2003. « Estimation of Regional Lung Volume Changes by Electrical Impedance Pressures Tomography during a Pressure-Volume Maneuver ». *Intensive Care Medicine* 29 (2): 233-40. <https://doi.org/10.1007/s00134-002-1586-x>.
- Hickmann, Cheryl E., Natalia R. Montecinos-Munoz, Diego Castanares-Zapatero, Ricardo S. Arriagada-Garrido, Ursula Jeria-Blanco, Timour Gizzatullin, Jean Roeseler, Jonathan Dugernier, Xavier Wittebole, et Pierre-François Laterre. 2020. « Acute Effects of Sitting Out of Bed and Exercise on Lung Aeration and Oxygenation in Critically Ill Subjects ». *Respiratory Care*, septembre. <https://doi.org/10.4187/respcare.07487>.
- Hinz, J., G. Hahn, P. Neumann, M. Sydow, P. Mohrenweiser, G. Hellige, et H. Burchardi. 2003. « End-Expiratory Lung Impedance Change Enables Bedside Monitoring of End-Expiratory Lung Volume Change ». *Intensive Care Medicine* 29 (1): 37-43. <https://doi.org/10.1007/s00134-002-1555-4>.
- Jaber, Samir, Gerald Chanques, Boris Jung, et Bruno Riou. 2010. « Postoperative Noninvasive Ventilation ». *Anesthesiology* 112 (2): 453-61. <https://doi.org/10.1097/ALN.0b013e3181c5e5f2>.
- Lehmann, Sylvia, Steffen Leonhardt, Chuong Ngo, Lukas Bergmann, Simone Schrading, Konrad Heimann, Norbert Wagner, et Klaus Tenbrock. 2018. « Electrical Impedance Tomography as Possible Guidance for Individual Positioning of Patients with Multiple Lung Injury ». *The Clinical Respiratory Journal* 12 (1): 68-75. <https://doi.org/10.1111/crj.12481>.

## Références

- Longhini, Federico, Jessica Maugeri, Cristina Andreoni, Chiara Ronco, Andrea Bruni, Eugenio Garofalo, Corrado Pelaia, Camilla Cavicchi, Sergio Pintaudi, et Paolo Navalesi. 2019. « Electrical Impedance Tomography during Spontaneous Breathing Trials and after Extubation in Critically Ill Patients at High Risk for Extubation Failure: A Multicenter Observational Study ». *Annals of Intensive Care* 9 (1): 88. <https://doi.org/10.1186/s13613-019-0565-0>.
- Mauri, Tommaso, Cecilia Turrini, Nilde Eronia, Giacomo Grasselli, Carlo Alberto Volta, Giacomo Bellani, et Antonio Pesenti. 2017. « Physiologic Effects of High-Flow Nasal Cannula in Acute Hypoxemic Respiratory Failure ». *American Journal of Respiratory and Critical Care Medicine* 195 (9): 1207-15. <https://doi.org/10.1164/rccm.201605-0916OC>.
- Pérez-Terán, Purificación, Judith Marin-Corral, Irene Dot, Sergio Sans, Rosana Muñoz-Bermúdez, Raquel Bosch, Clara Vila, et Joan Ramon Masclans. 2019. « Aeration Changes Induced by High Flow Nasal Cannula Are More Homogeneous than Those Generated by Non-Invasive Ventilation in Healthy Subjects ». *Journal of Critical Care* 53: 186-92. <https://doi.org/10.1016/j.jcrc.2019.06.009>.
- Putensen, Christian, Benjamin Hentze, Stefan Muenster, et Thomas Muders. 2019. « Electrical Impedance Tomography for Cardio-Pulmonary Monitoring ». *Journal of Clinical Medicine* 8 (8). <https://doi.org/10.3390/jcm8081176>.
- Reychler, Gregory, Valeska Uribe Rodriguez, Cheryl Elizabeth Hickmann, Bertrand Tombal, Pierre-François Laterre, Axel Feyaerts, et Jean Roeseler. 2018. « Incentive Spirometry and Positive Expiratory Pressure Improve Ventilation and Recruitment in Postoperative Recovery: A Randomized Crossover Study ». *Physiotherapy Theory and Practice*, février, 1-7. <https://doi.org/10.1080/09593985.2018.1443185>.
- Riedel, Thomas, Tanya Richards, et Andreas Schibler. 2005. « The Value of Electrical Impedance Tomography in Assessing the Effect of Body Position and Positive Airway Pressures on Regional Lung Ventilation in Spontaneously Breathing Subjects ». *Intensive Care Medicine* 31 (11): 1522-28. <https://doi.org/10.1007/s00134-005-2734-x>.
- Roldán, Rollin, Shalim Rodriguez, Fernando Barriga, Mauro Tucci, Marcus Victor, Glasiele Alcala, Renán Villamonte, et al. 2022. « Sequential Lateral Positioning as a New Lung Recruitment Maneuver: An Exploratory Study in Early Mechanically Ventilated Covid-19 ARDS Patients ». *Annals of Intensive Care* 12 (1): 13. <https://doi.org/10.1186/s13613-022-00988-9>.
- Rowley, Daniel D., Thomas P. Malinowski, Joseph L. Di Peppe, Ryan M. Sharkey, Daniel U. Gochenour, et Kyle B. Enfield. 2019. « A Randomized Controlled Trial Comparing Two Lung Expansion Therapies After Upper Abdominal Surgery ». *Respiratory Care*, mai. <https://doi.org/10.4187/respcare.06812>.
- Sánchez-Iglesias, Andrés, Milagros Fernández-Lucas, et José L. Teruel. 2012. « The Electrical Basis of Bioimpedance ». *Nefrología (English Edition)* 32 (2): 133-35. <https://doi.org/10.3265/Nefrologia.pre2012.Jan.11310>.

## Références

- Sella, Nicolò, Tommaso Pettenuzzo, Francesco Zarantonello, Giulio Andreatta, Alessandro De Cassai, Chiara Schiavolin, Caterina Simoni, Laura Pasin, Annalisa Boscolo, et Paolo Navalesi. 2021. « Electrical Impedance Tomography: A Compass for the Safe Route to Optimal PEEP ». *Respiratory Medicine* 187 (octobre): 106555. <https://doi.org/10.1016/j.rmed.2021.106555>.
- Shono, Atsuko, et Toru Kotani. 2019. « Clinical Implication of Monitoring Regional Ventilation Using Electrical Impedance Tomography ». *Journal of Intensive Care* 7: 4. <https://doi.org/10.1186/s40560-019-0358-4>.
- Teschner, Eckhard, Michael Imhoff, et Steffen Leonhardt. s. d. « Electrical Impedance Tomography: The Realisation of Regional Ventilation Monitoring. Notice Fabricant Dräger. 2nd Édition. » Notice Fabricant Dräger: 152.
- Thomson, Jessica, Christoph M. Rüegger, Elizabeth J. Perkins, Prue M. Pereira-Fantini, Olivia Farrell, Louise S. Owen, et David G. Tingay. 2020. « Regional Ventilation Characteristics during Non-Invasive Respiratory Support in Preterm Infants ». *Archives of Disease in Childhood. Fetal and Neonatal Edition*, novembre. <https://doi.org/10.1136/archdischild-2020-320449>.
- Wang, Guan, Lei Zhang, Bin Li, Bingyin Niu, Jian Jiang, Duo Li, Zhu Yue, et Yibing Weng. 2021. « The Application of Electrical Impedance Tomography During the Ventilator Weaning Process ». *International Journal of General Medicine* 14: 6875-83. <https://doi.org/10.2147/IJGM.S331772>.
- Yuan, Siyi, Yi Chi, Yun Long, Huaiwu He, et Zhanqi Zhao. 2021. « Effect of Position Change From the Bed to a Wheelchair on the Regional Ventilation Distribution Assessed by Electrical Impedance Tomography in Patients With Respiratory Failure ». *Frontiers in Medicine* 8: 744958. <https://doi.org/10.3389/fmed.2021.744958>.
- Yuan, Zhiyong, Xiaoning Han, Lisha Wang, Ping Xue, Yunbo Sun, Inéz Frerichs, Knut Möller, Jinyan Xing, et Zhanqi Zhao. 2020. « Oxygen Therapy Delivery and Body Position Effects Measured With Electrical Impedance Tomography ». *Respiratory Care* 65 (3): 281-87. <https://doi.org/10.4187/respcare.07109>.
- Zhang, Rui, Huaiwu He, Long Yun, Xiang Zhou, Xu Wang, Yi Chi, Siyi Yuan, et Zhanqi Zhao. 2020. « Effect of Postextubation High-Flow Nasal Cannula Therapy on Lung Recruitment and Overdistension in High-Risk Patient ». *Critical Care (London, England)* 24 (1): 82. <https://doi.org/10.1186/s13054-020-2809-7>.
- Zhao, Zhanqi, Knut Möller, Daniel Steinmann, Inéz Frerichs, et Josef Guttmann. 2009. « Evaluation of an Electrical Impedance Tomography-Based Global Inhomogeneity Index for Pulmonary Ventilation Distribution ». *Intensive Care Medicine* 35 (11): 1900-1906. <https://doi.org/10.1007/s00134-009-1589-y>.



# Recherche Clinique

## Thérapie d'Expansion Pulmonaire

### A Randomized Controlled Trial Comparing Two Lung Expansion Therapies After Upper Abdominal Surgery

Daniel D Rowley, Thomas P Malinowski, Joseph L Di Peppe, Ryan M Sharkey,  
Daniel U Gochenour, and Kyle B Enfield

